



Structure vitreuse à l'échelle subnanométrique : désordre géométrique ou chimique.

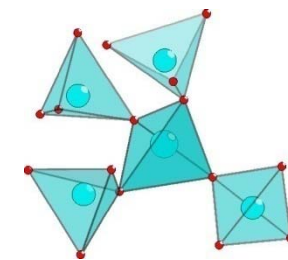
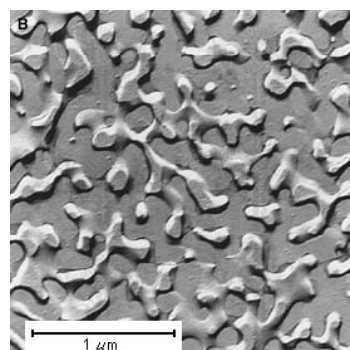
Dominique Massiot,

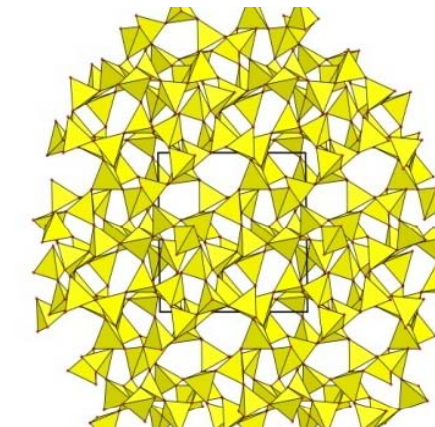
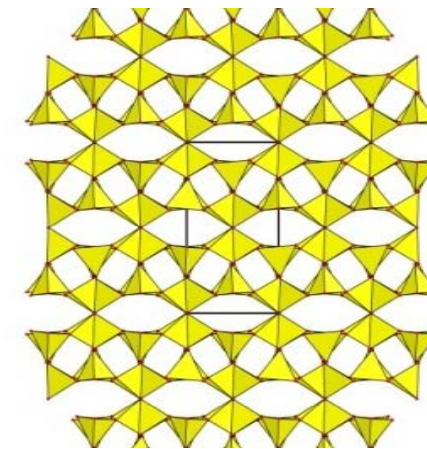
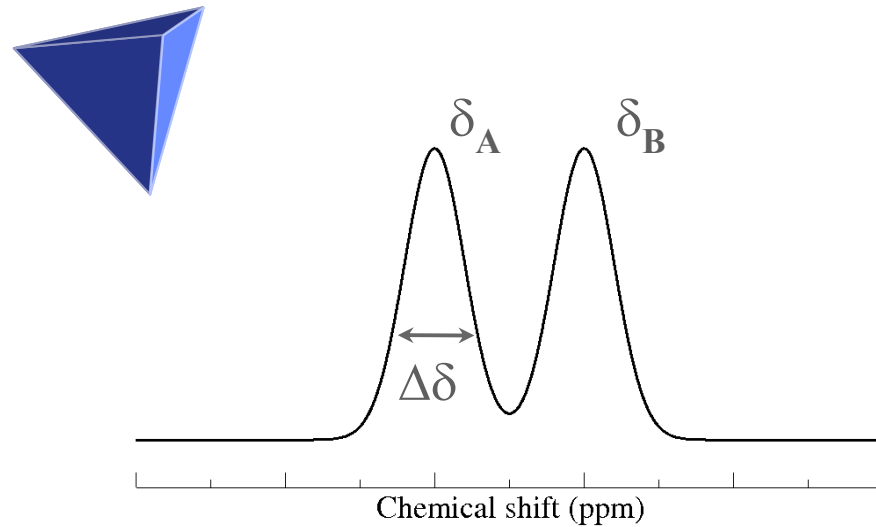
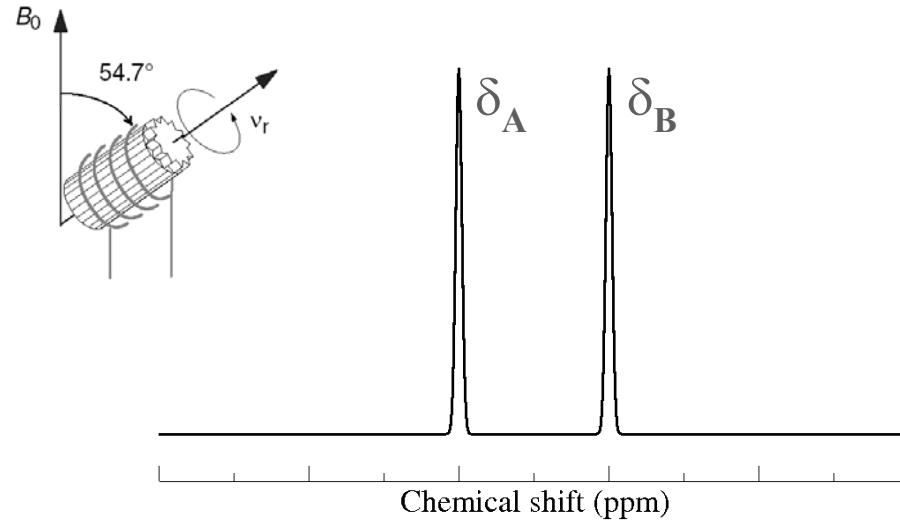
Franck Fayon, Michael Deschamps, Sylvian Cadars, Valérie Montouillout,
Nadia Pellerin, Emmanuel Véron, Laura Martel, Julien Hiet, Pierre Florian,
Laurent Cormier, Daniel Neuville

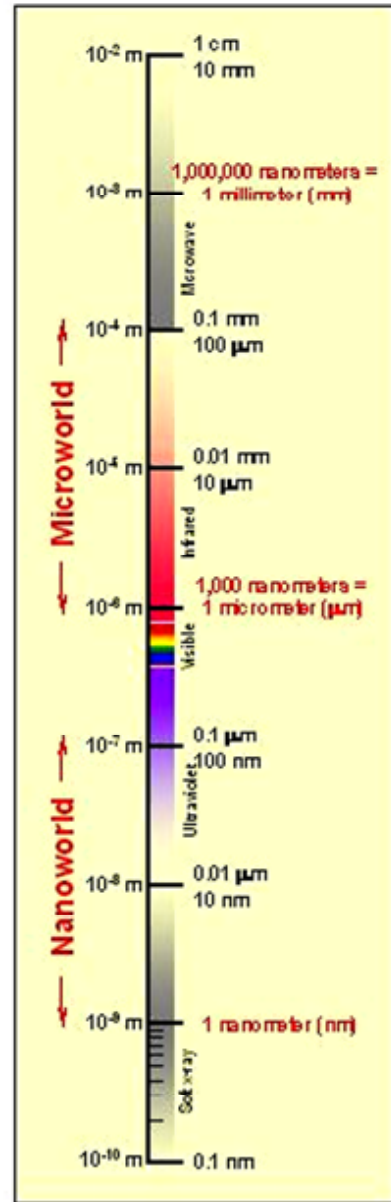
CEMHTI CNRS- UPR 3079 Orléans

<http://www.cemhti.cnrs-orleans.fr>
dominique.massiot@cnrs-orleans.fr

Google « massiot »

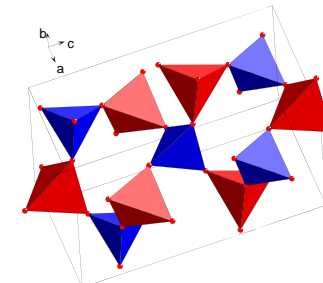




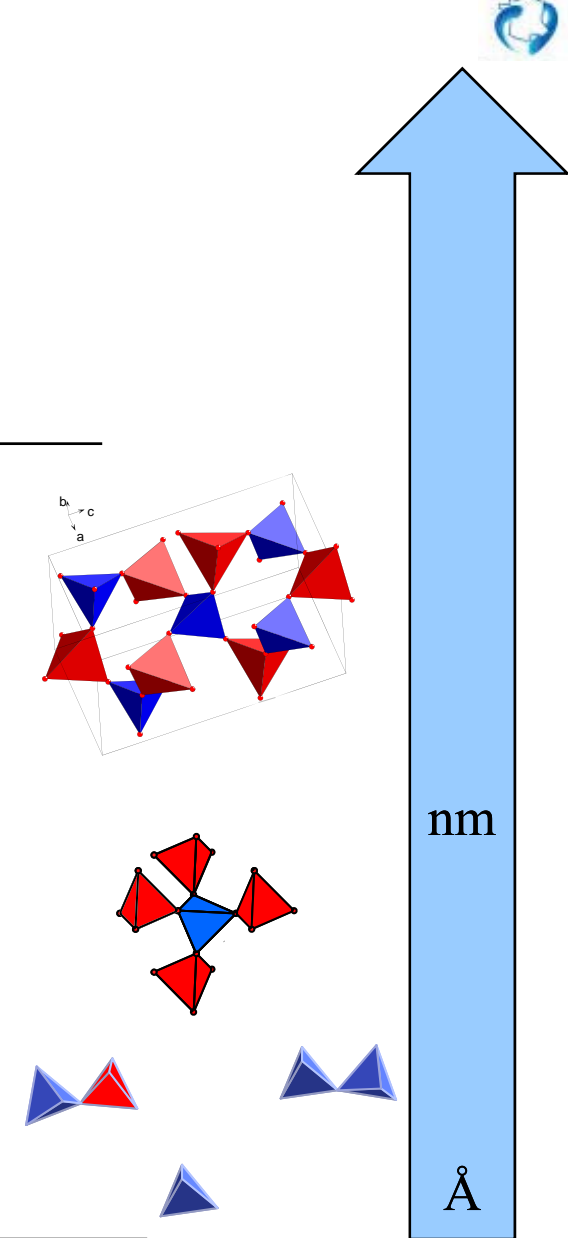


Homogeneous
Isotropic
Disordered

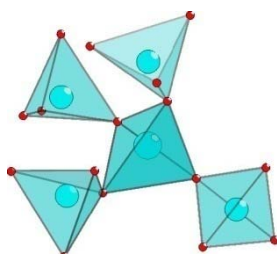
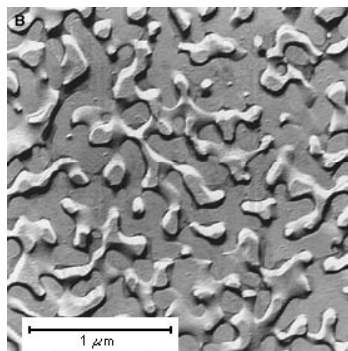
- ✓ Homogeneity
- ✓ Nucleation / Growth
- ✓ Viscosity
- ✓ Configuration
- ✓ Chemistry
- ✓ Glass Transition
- ✓ Modelling



Heterogeneous
Anisotropic
Partly Ordered



Structure vitreuse à l'échelle subnanométrique : désordre géométrique ou chimique.



- **Changements de coordinence**
 - ✓ RMN 1D : ^{29}Si , ^{11}B , ^{27}Al , ^{17}O
- **Désordre Chimique / Géométrique**
 - ✓ Phosphates
 - ✓ Chalcogénures PSe
- **Vers l'échelle sub-nanométrique**
 - ✓ Anorthite $2\text{SiO}_2\text{-Al}_2\text{O}_3\text{-CaO}$
 - ✓ Silicate de Ca $\text{Ca}^{29}\text{SiO}_3$
- **Perspectives**

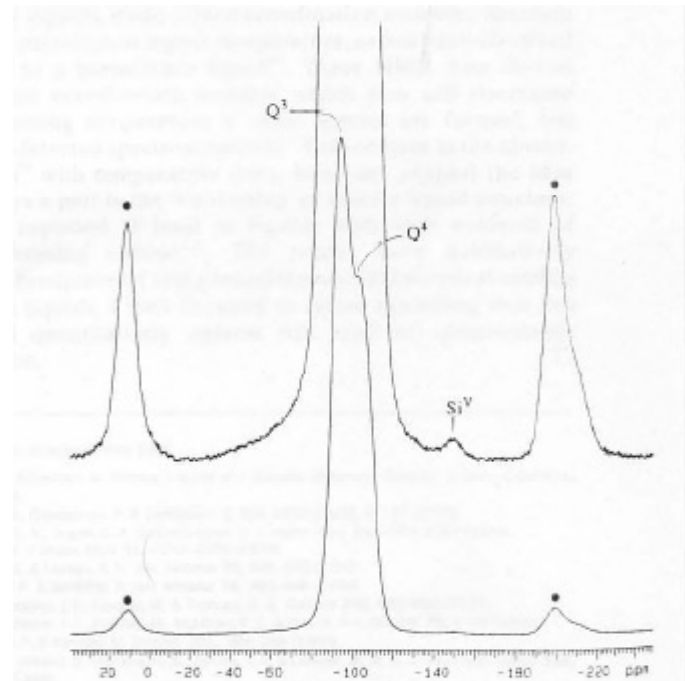
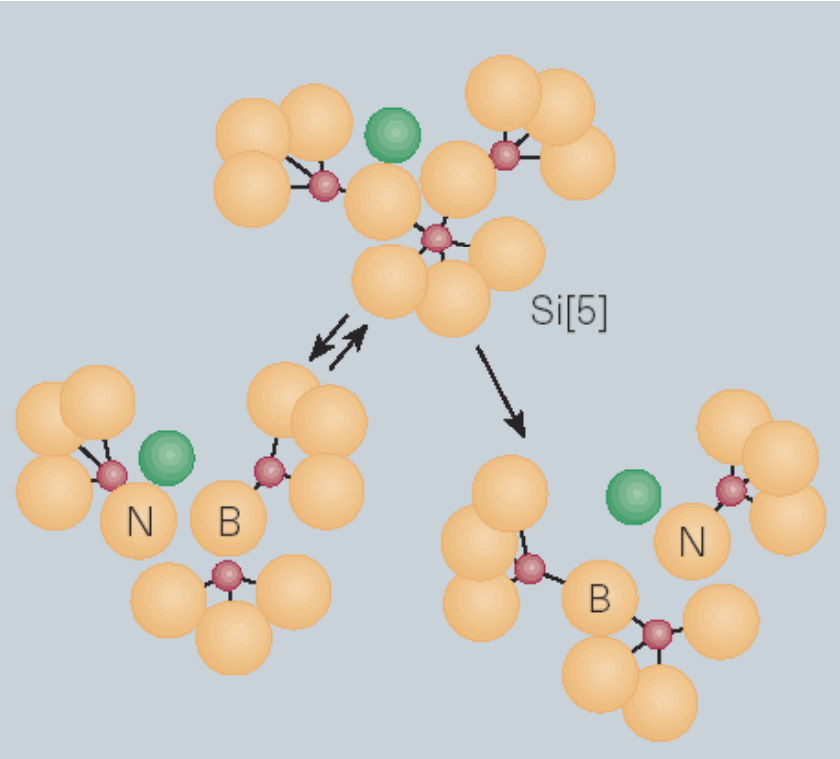


FIG. 1 The ^{29}Si MAS NMR spectrum for fast-quenched $\text{K}_2\text{Si}_4\text{O}_9$ glass. Upper trace is lower trace $\times 10$. Data were collected with a Varian VXR 400 spectrometer at a Larmor frequency of 79.5 MHz, using a high-speed MAS probe (Doty Scientific, Inc.) with a 5-mm rotor. A spin tip angle of 30° and a 1-s delay between pulses were used (using 10- and 60-s delays produced no significant differences from the 1-s delay in the relative abundance of Si^5 sites). Data from $\sim 50,000$ pulses were averaged. A 20-Hz exponential line broadening was used to improve the signal-to-noise ratio. Frequency reference was tetramethyl silane. Solid circles mark spinning side bands.

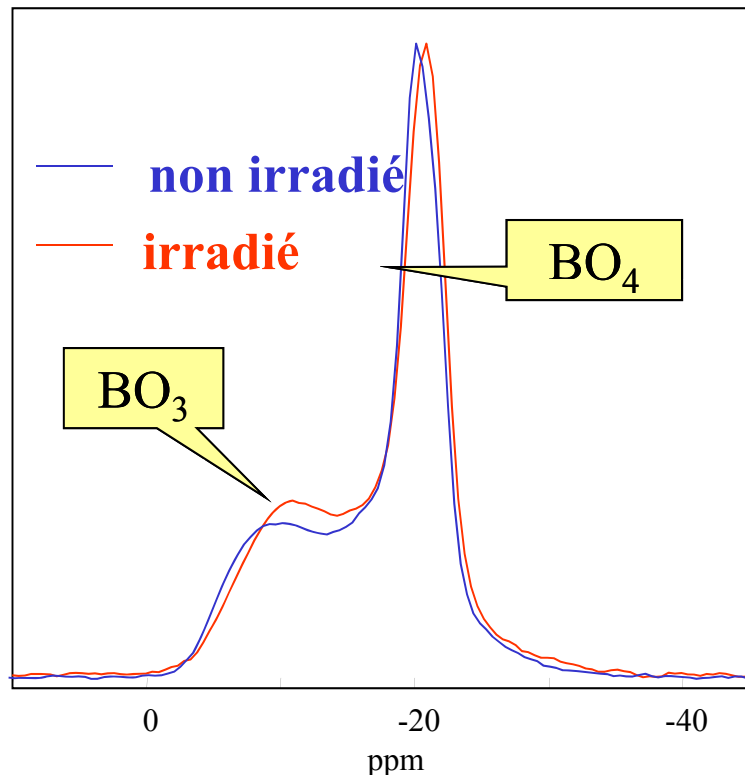


J.F.Stebbins

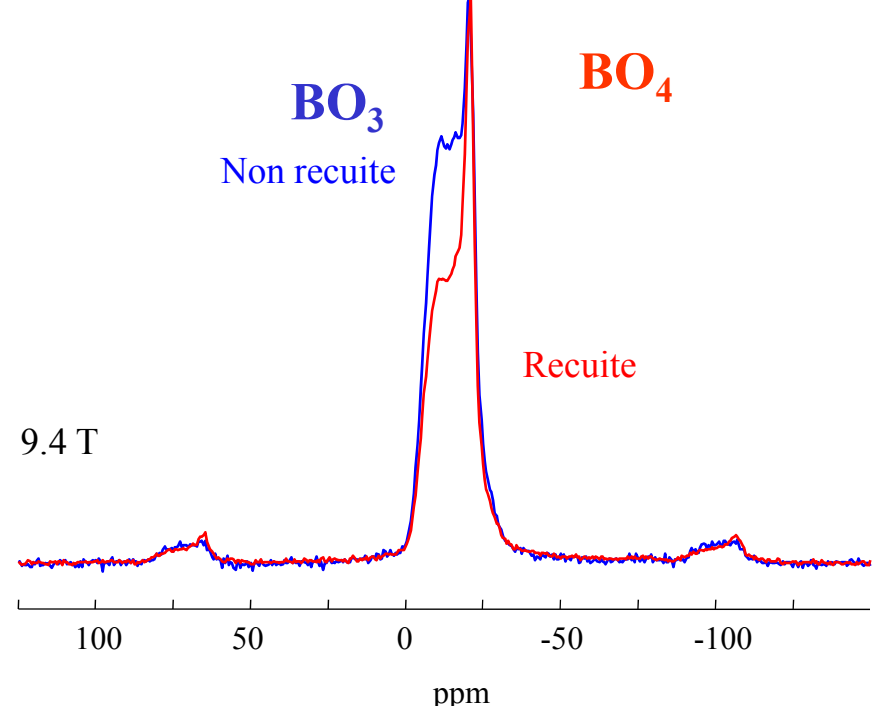
'NMR evidence for five-coordinated silicon in a silicate glass at atmospheric pressure.'
Nature **351** 638-639 (1991)

Modèle de mécanisme de viscosité
 Si_5 a été identifié expérimentalement dans des verres

Verres Modèles irradiés β
(B. Boizot- LSI)



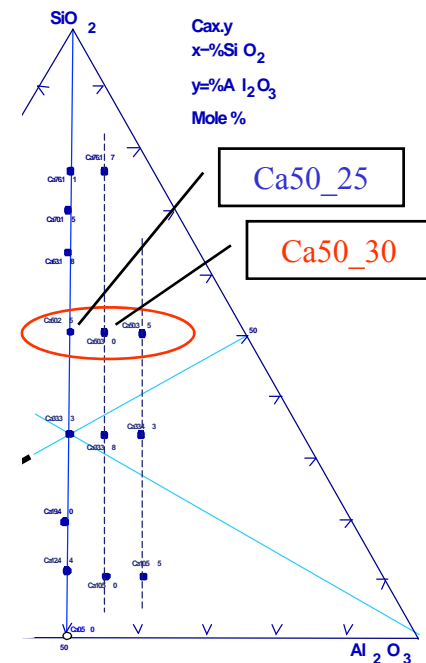
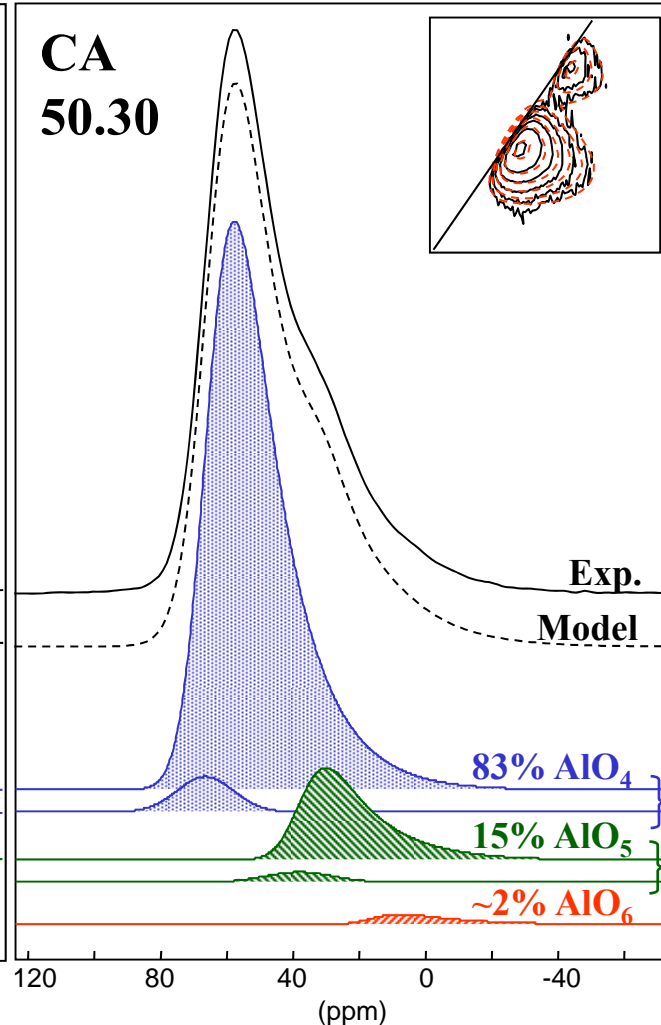
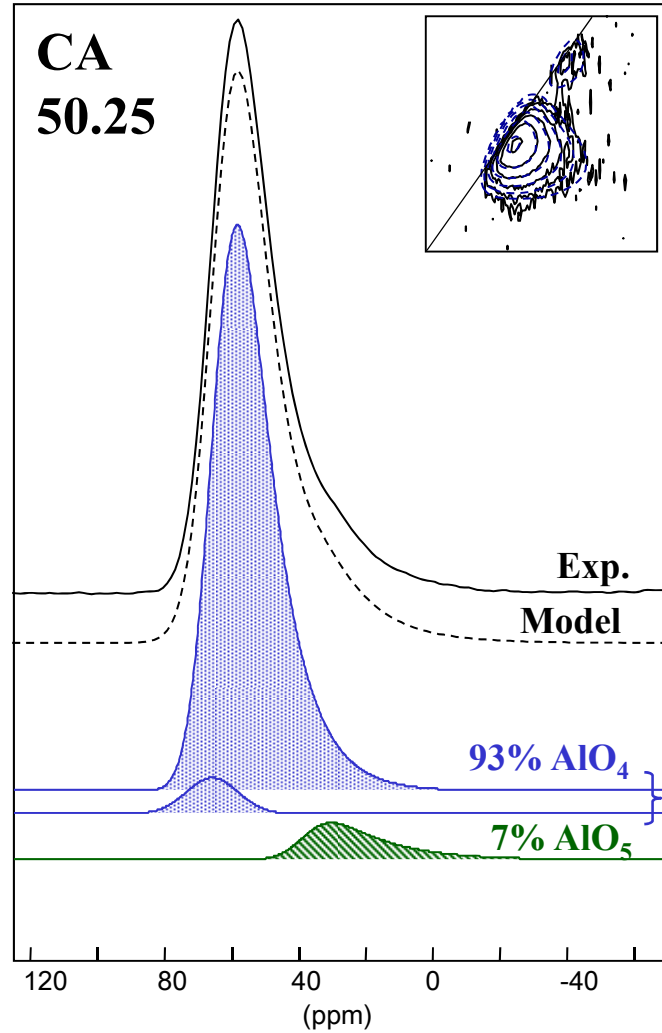
Fibre de verre E



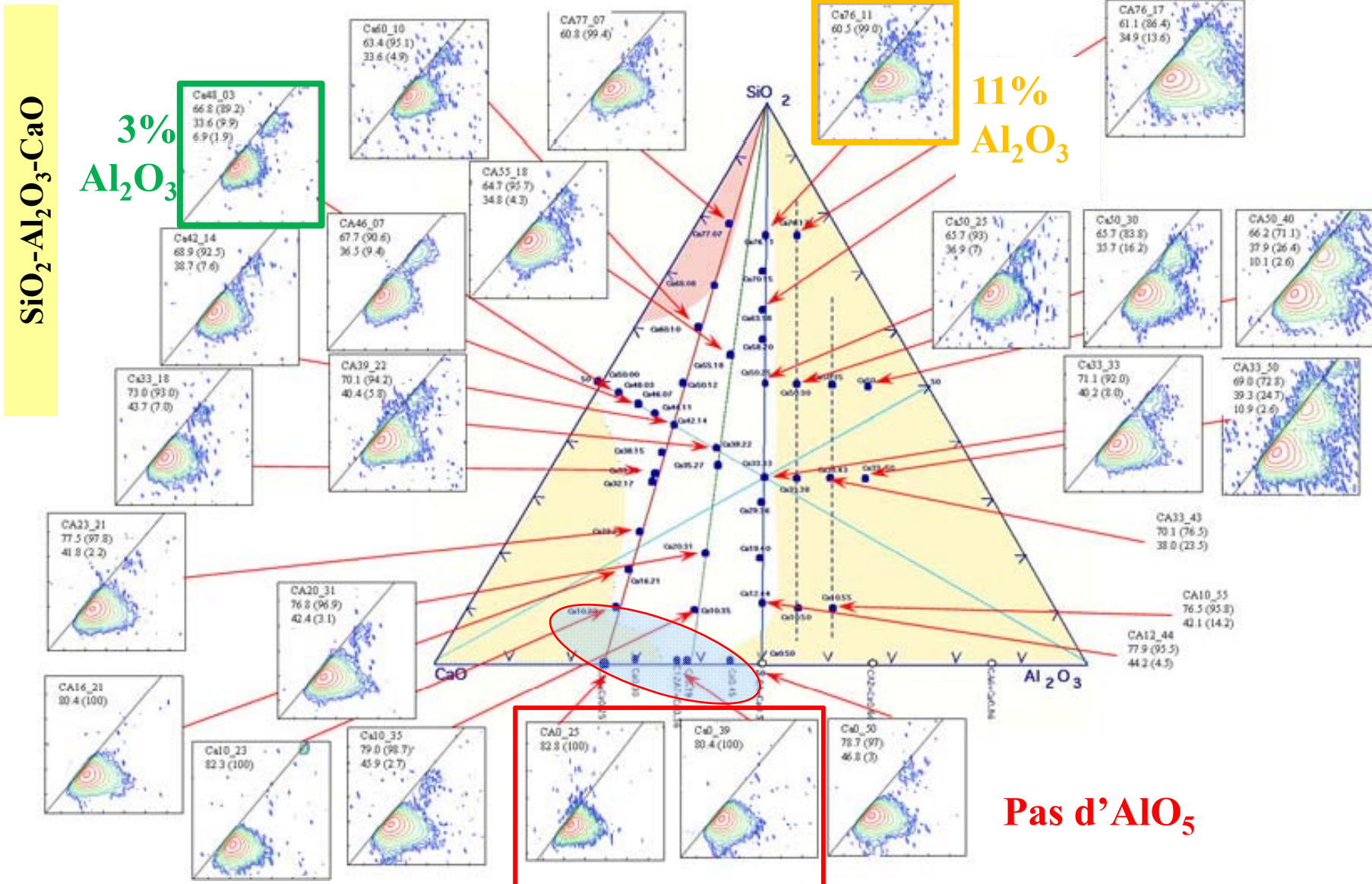
Le rapport $\text{B}_{\text{III}}/\text{B}_{\text{IV}}$ est très sensible : Irradiation, température fictive...

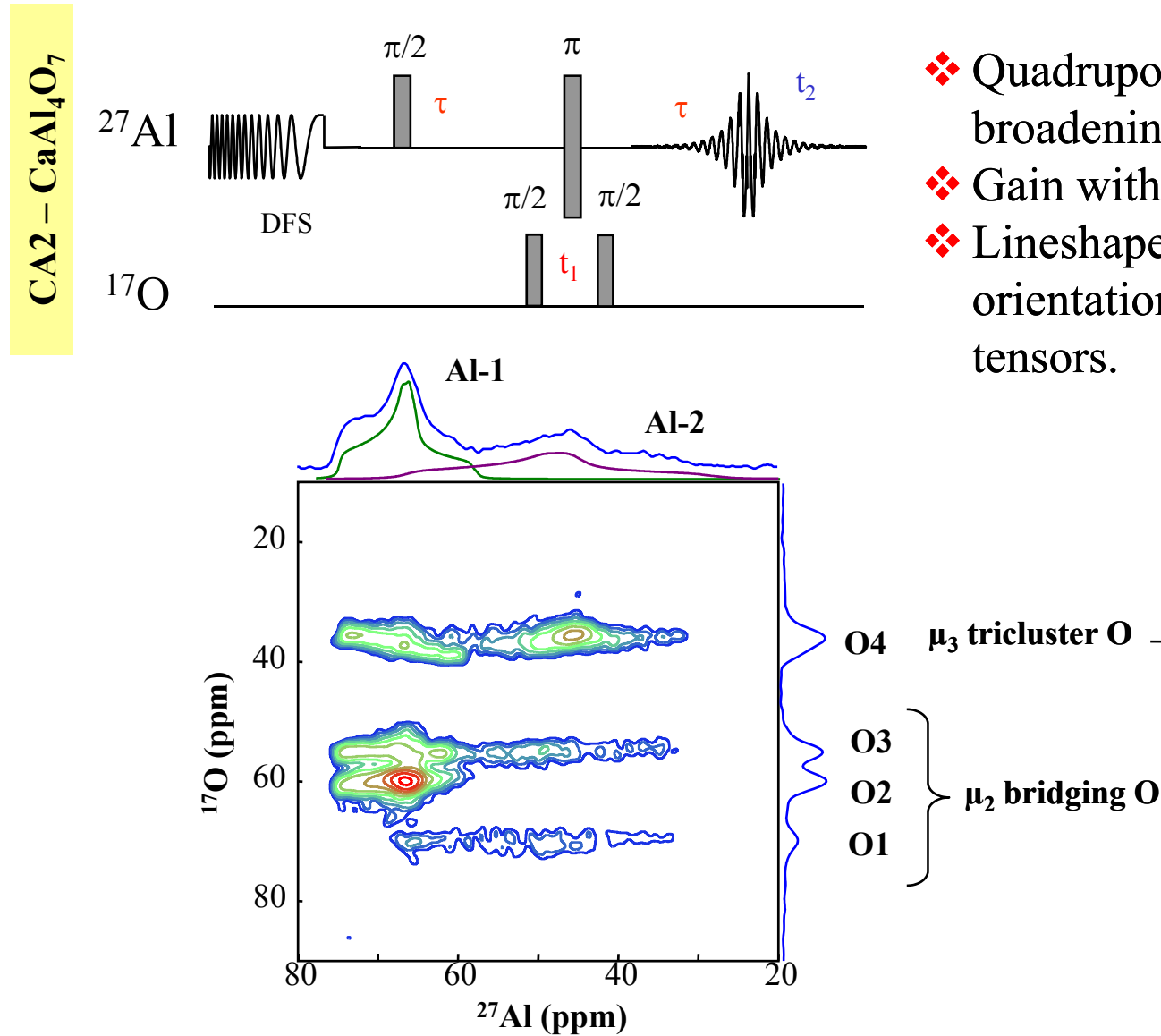


Glass (SiO_2 , Al_2O_3 , CaO)

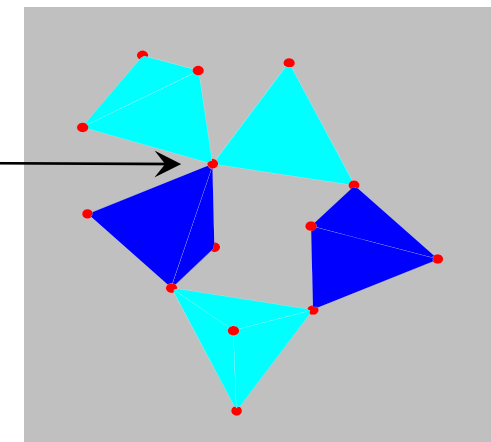


7% AlO_5 pour la composition Ca50_25 – Plagioclase $\text{Si}_2\text{Al}_2\text{O}_8\text{Ca}$

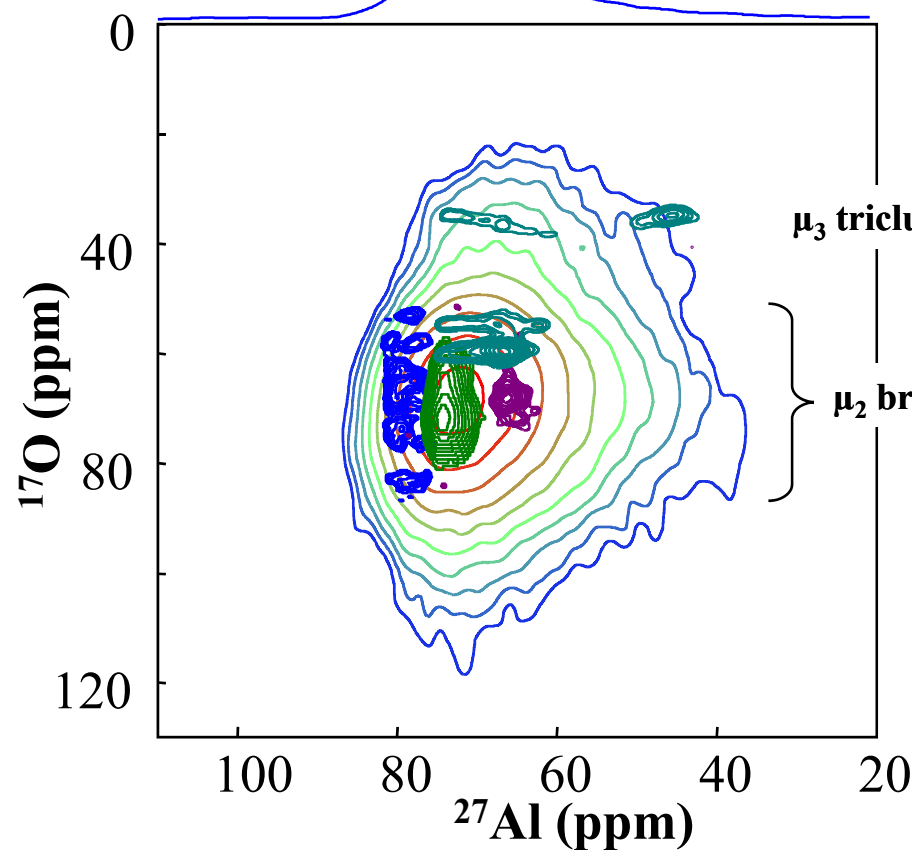




- ❖ Quadrupoles with 2nd order broadening
- ❖ Gain with B_0^4 in both dimensions
- ❖ Lineshape contains the relative orientation of the quadrupolar tensors.

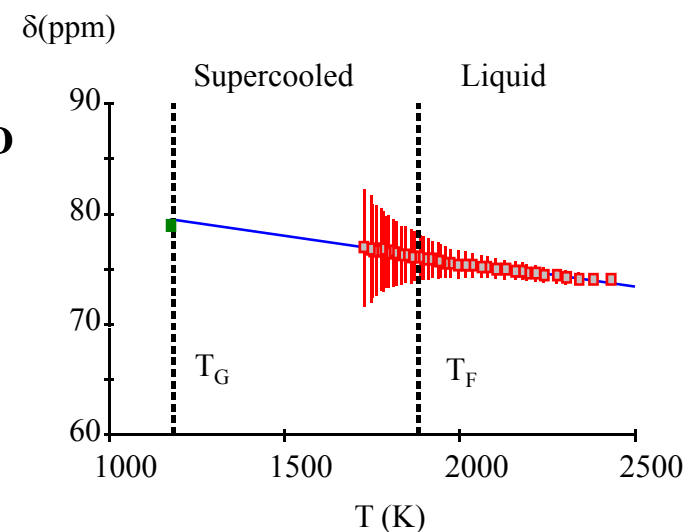


CaO-Al₂O₃ Glass



μ_3 tricluster O

μ_2 bridging O

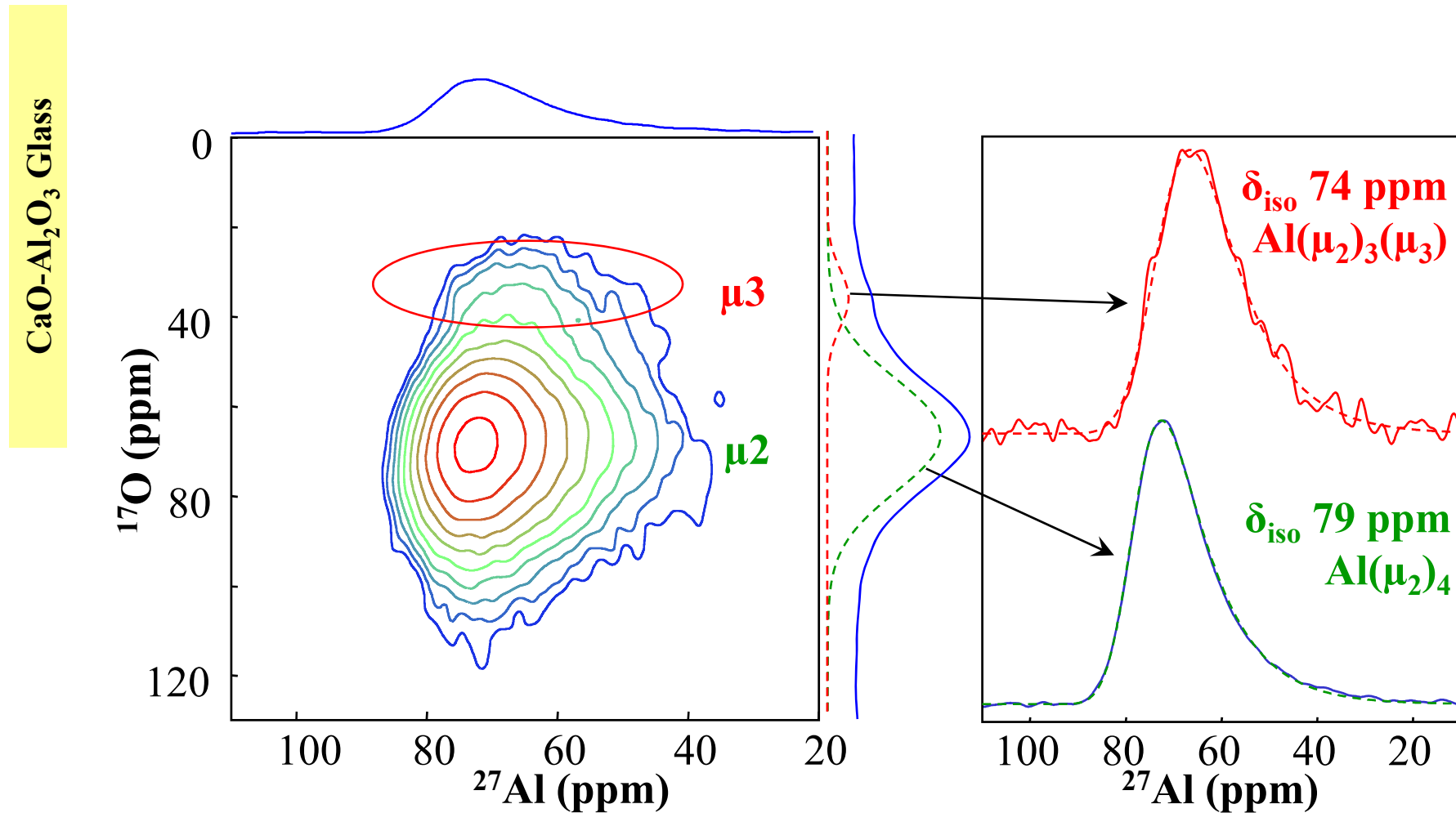


Supercooled

Liquid

T_G

T_F



Consistent ¹⁷O and ²⁷Al signature of Al(μ_2)₃(μ_3) structural entities

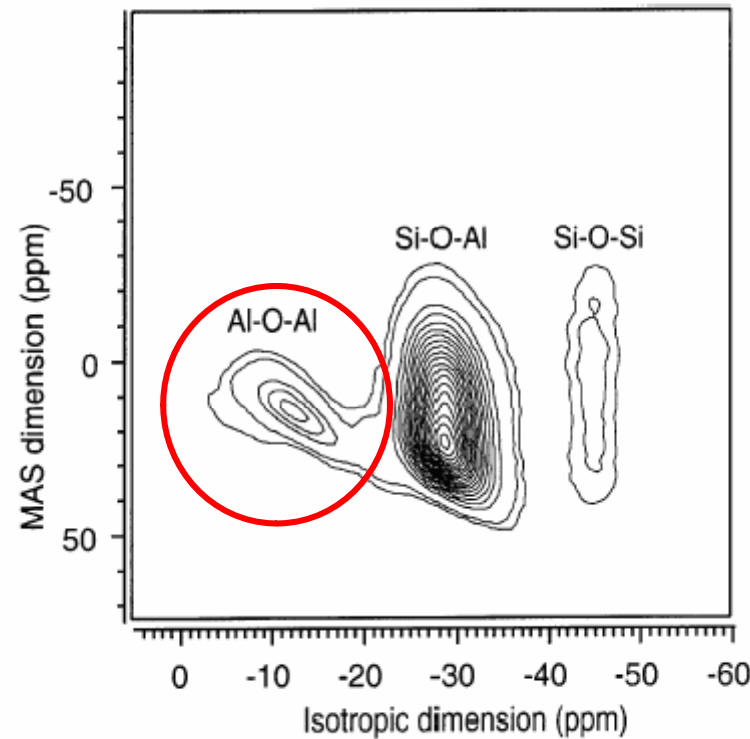


Fig. 5. ¹⁷O 3QMAS spectrum collected at 9.4 T for a glass of nominal composition (in mol%) Na₂O, 25; Al₂O₃, 25; SiO₂, 50 [24].

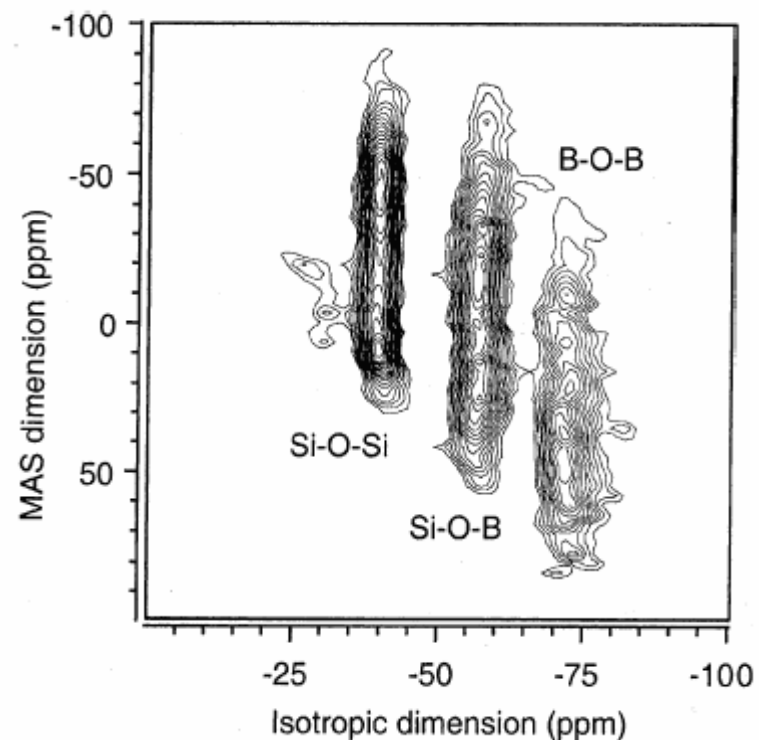
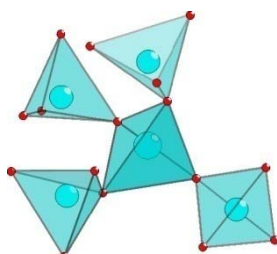
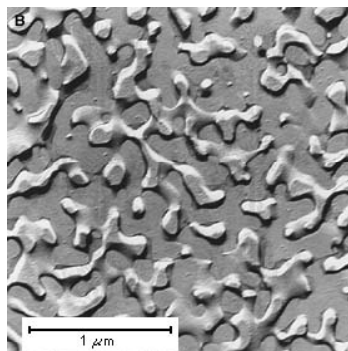


Fig. 4. ¹⁷O 3QMAS spectrum collected at 9.4 T for a glass of nominal composition (in mol%) B₂O₃, 40; SiO₂, 60 [21].

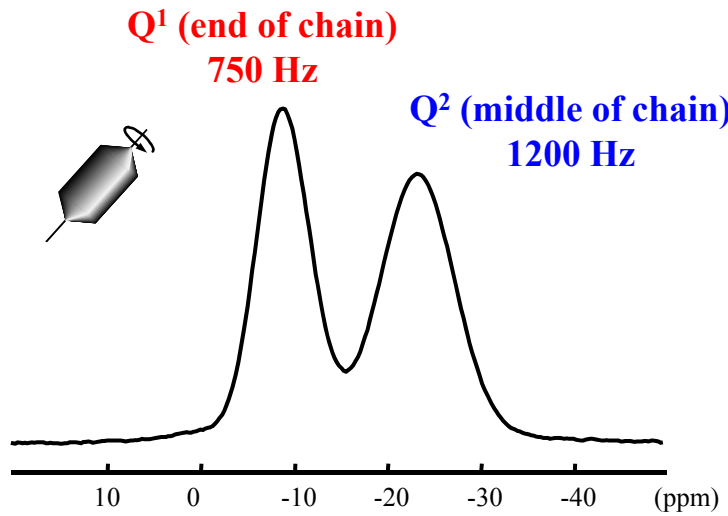
Al-O-Al : violation de la règle d'exclusion de Lowenstein Si₃AlO₈Na

Structure vitreuse à l'échelle subnanométrique : désordre géométrique ou chimique.



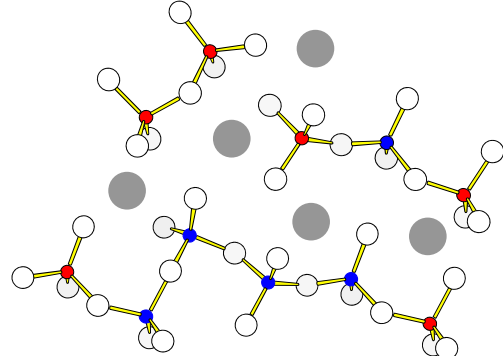
- Changements de coordinence
 - ✓ RMN 1D : ^{29}Si , ^{11}B , ^{27}Al , ^{17}O
- Désordre Chimique / Géométrique
 - ✓ Phosphates
 - ✓ Chalcogénures PSe
- Vers l'échelle sub-nanométrique
 - ✓ Anorthite $2\text{SiO}_2\text{-Al}_2\text{O}_3\text{-CaO}$
 - ✓ Silicate de Ca $\text{Ca}^{29}\text{SiO}_3$
- Perspectives

$(\text{PbO})_{0.61}(\text{P}_2\text{O}_5)_{0.39}$ verre

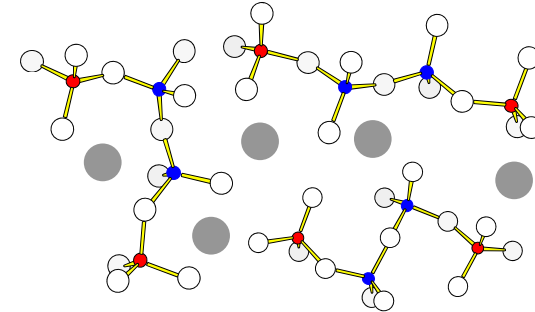


$$[\text{Q}^1] = [\text{Q}^2]$$

Average chain length
 $N_{\text{av.}} \sim 4$



? Nature
of disorder at
the nanometric
scale ?

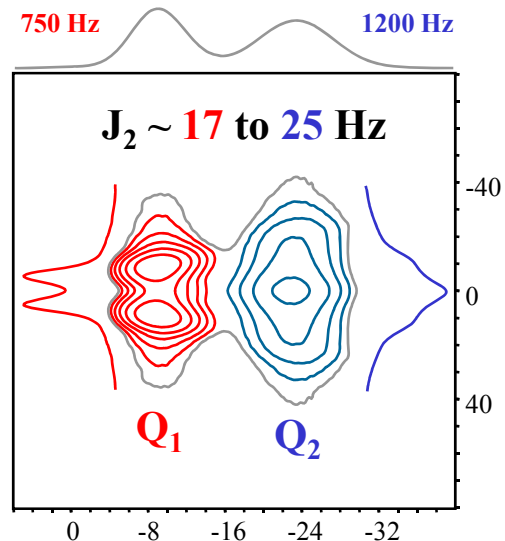


Chain length distribution?

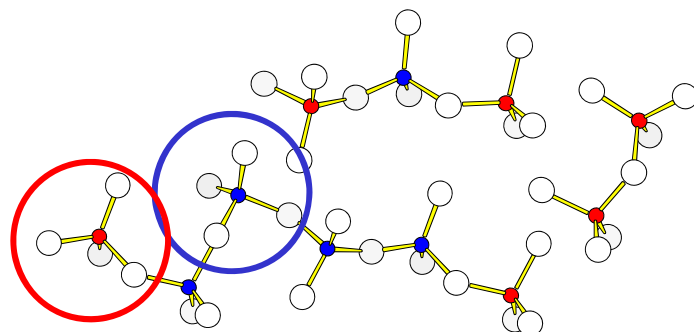
Chemical disorder

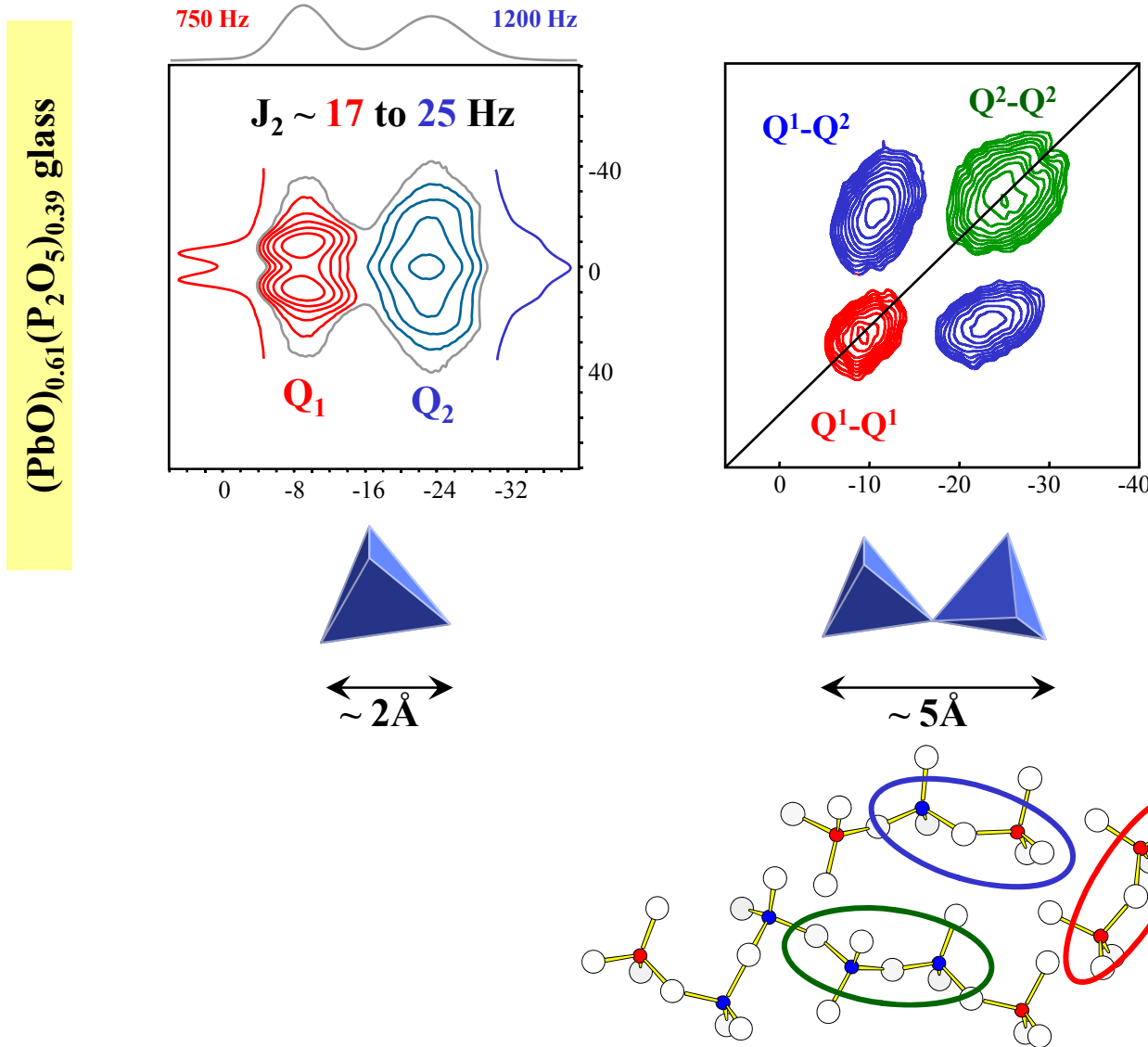
Chain geometries?
Geometrical disorder

$(\text{PbO})_{0.61}(\text{P}_2\text{O}_5)_{0.39}$ glass

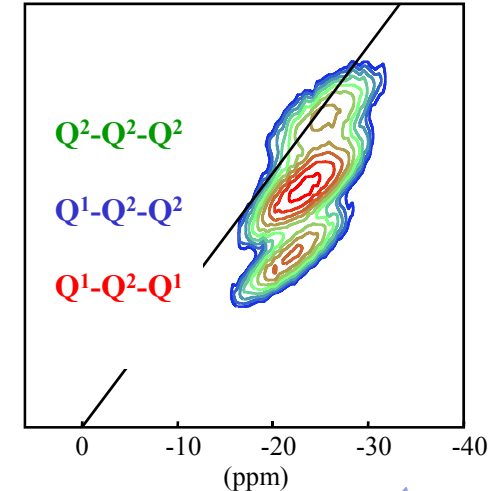
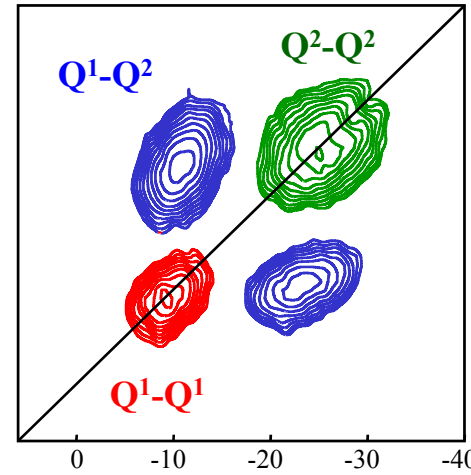
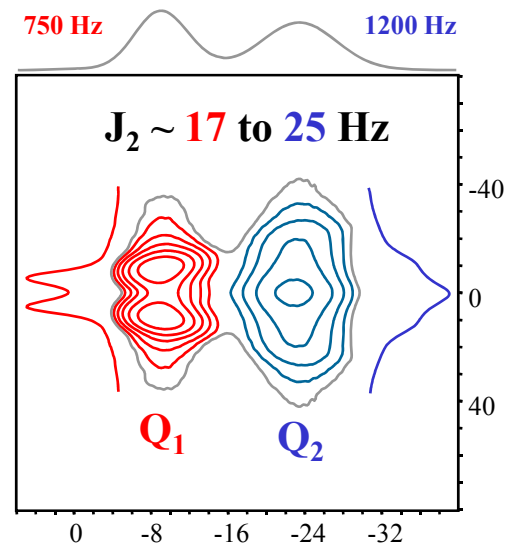


$\approx 2\text{\AA}$

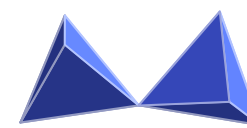




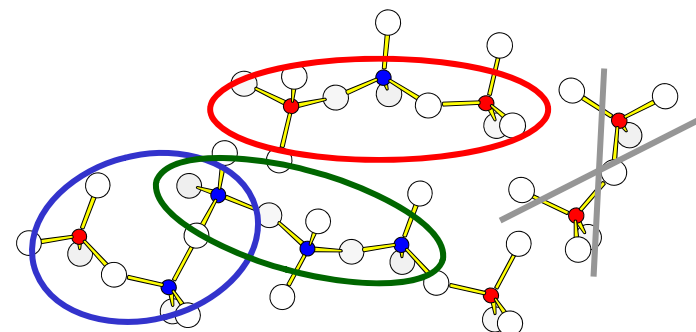
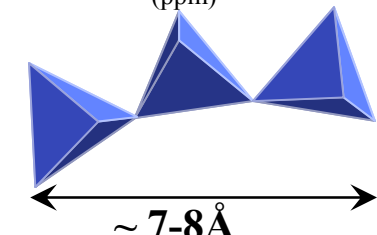
$(\text{PbO})_{0.61}(\text{P}_2\text{O}_5)_{0.39}$ glass

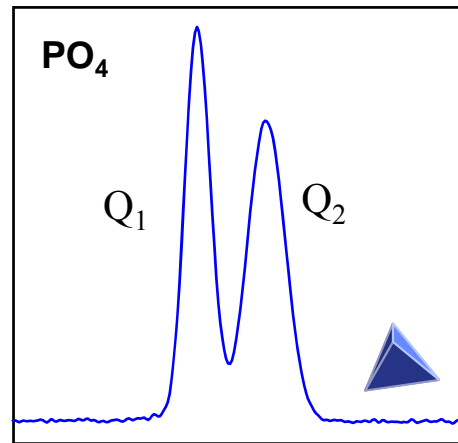


$\xleftrightarrow{\sim 2\text{\AA}}$

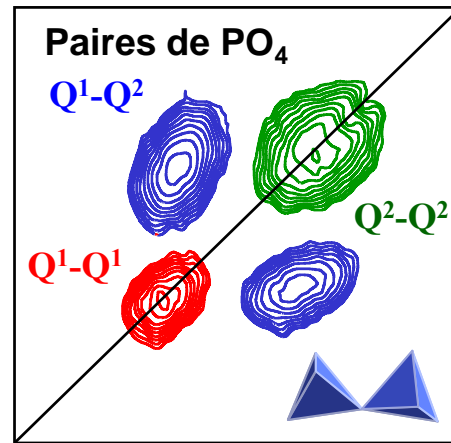


$\xleftrightarrow{\sim 5\text{\AA}}$

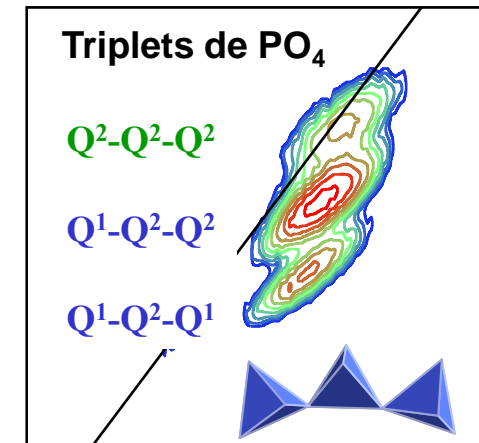




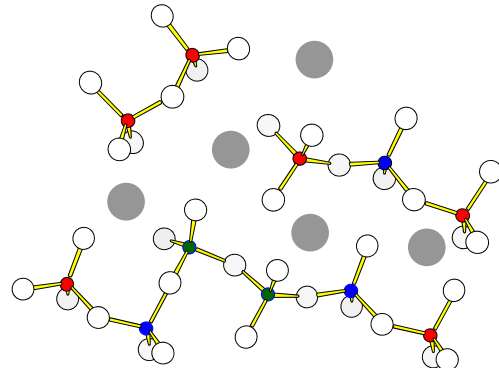
$\sim 2\text{\AA}$



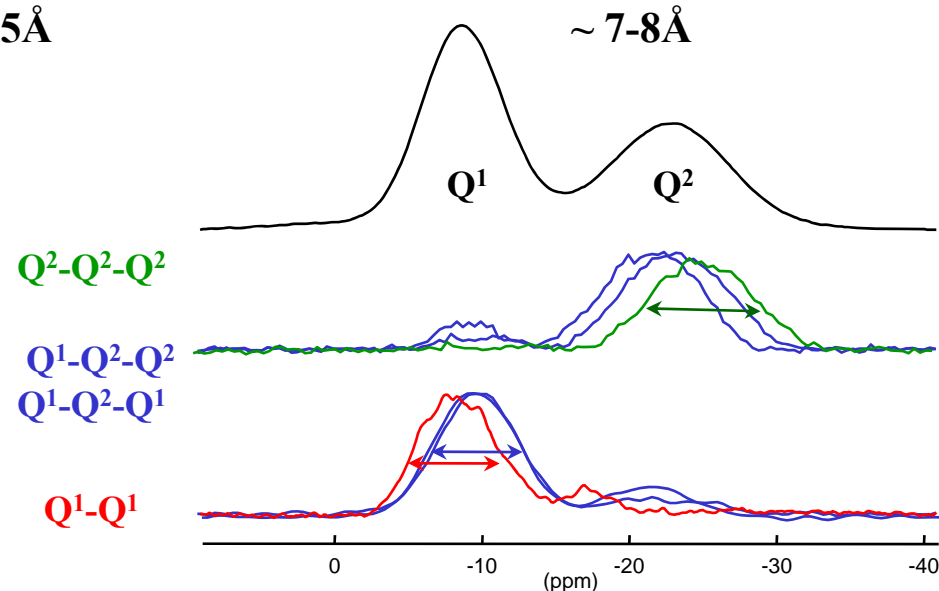
$\sim 5\text{\AA}$



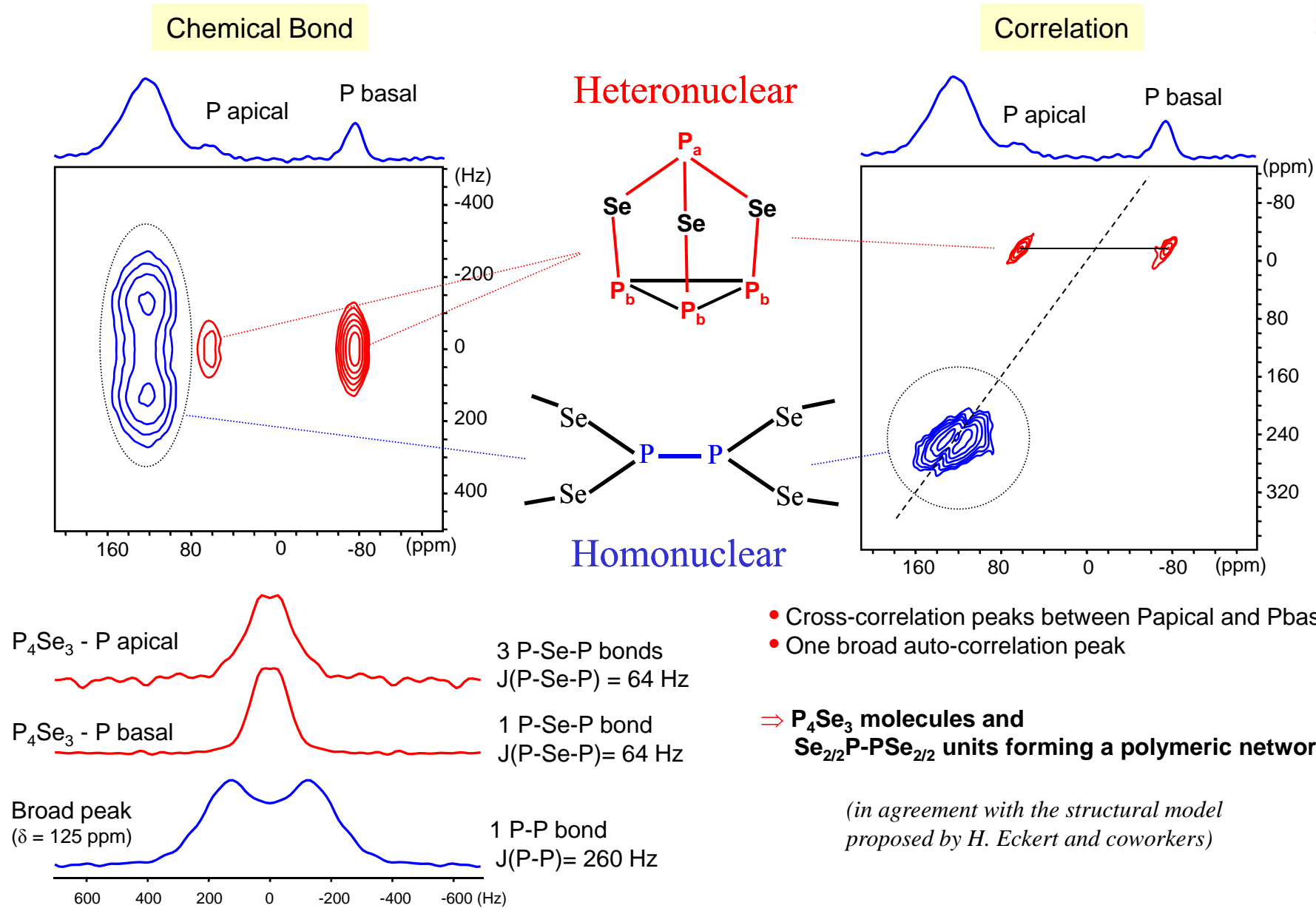
$\sim 7-8\text{\AA}$



Distribution Chimique et Géométrique

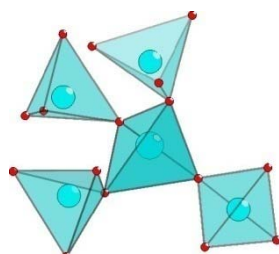
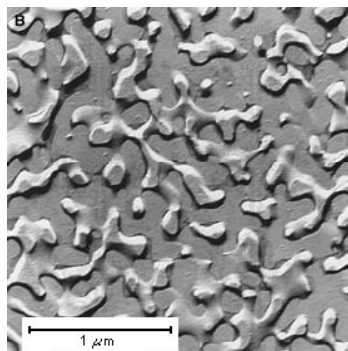


\longleftrightarrow Geométrie



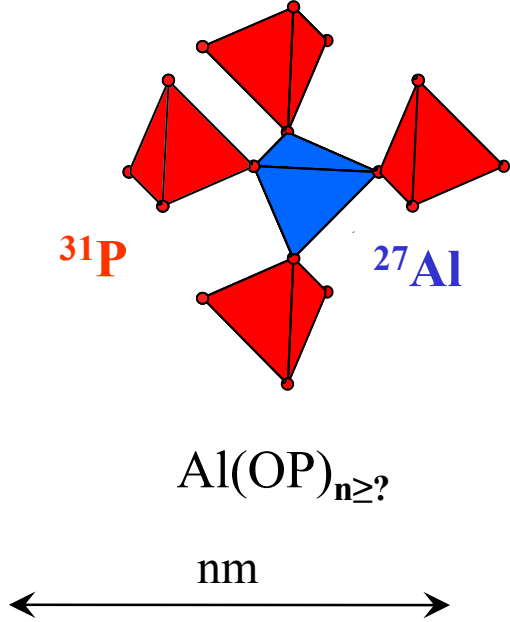


Structure vitreuse à l'échelle subnanométrique : désordre géométrique ou chimique.



- Changements de coordinence
 - ✓ RMN 1D : ^{29}Si , ^{11}B , ^{27}Al , ^{17}O
- Désordre Chimique / Géométrique
 - ✓ Phosphates
 - ✓ Chalcogénures PSe
- Vers l'échelle sub-nanométrique
 - ✓ Anorthite $2\text{SiO}_2\text{-Al}_2\text{O}_3\text{-CaO}$
 - ✓ Silicate de Ca $\text{Ca}^{29}\text{SiO}_3$
- Perspectives

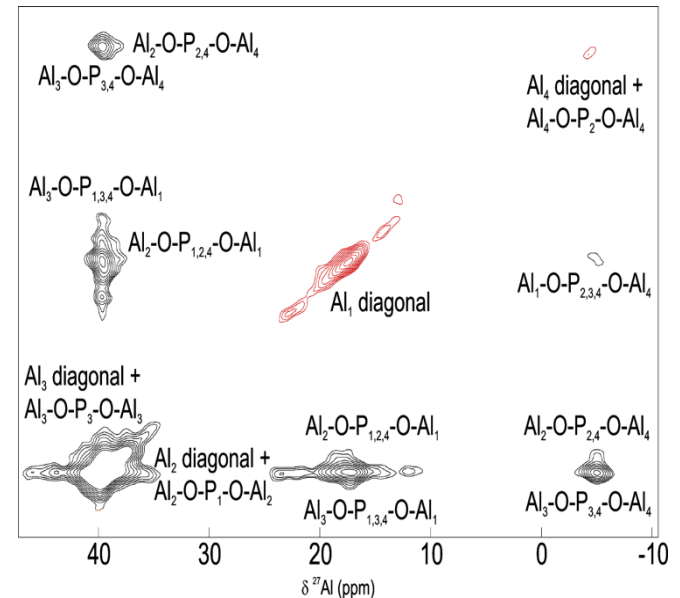
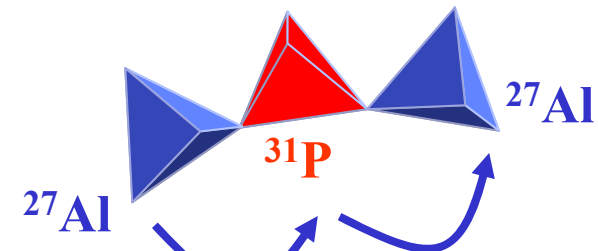
Heteronuclear Counting



Homonuclear Counting

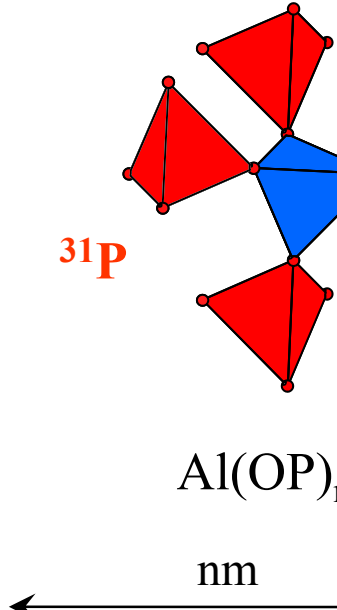
$\{^{71}\text{Ga}/^{31}\text{P}\}$ $\{^{27}\text{Al}/^{31}\text{P}\}$ $\{^{27}\text{Al}/^{29}\text{Si}\}$ $\{^{27}\text{Al}/^{17}\text{O}\}$ $\{^{29}\text{Si}/^{31}\text{P}\}$ $\{^{19}\text{F}/^{207}\text{Pb}\}$ $\{^{17}\text{O}/^{31}\text{P}\}$...

Relayed Transfer





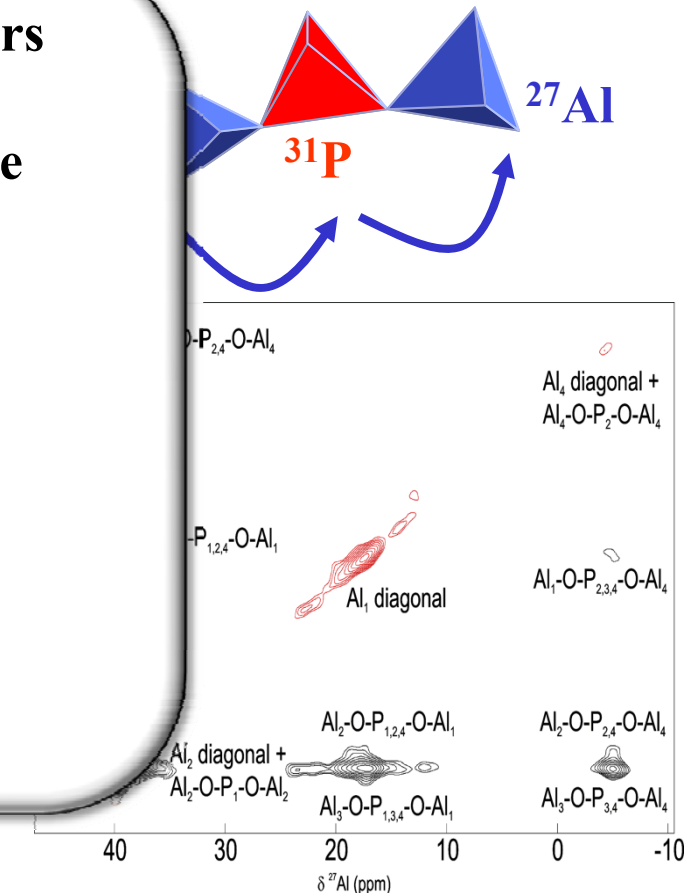
Heteronuclear Counting



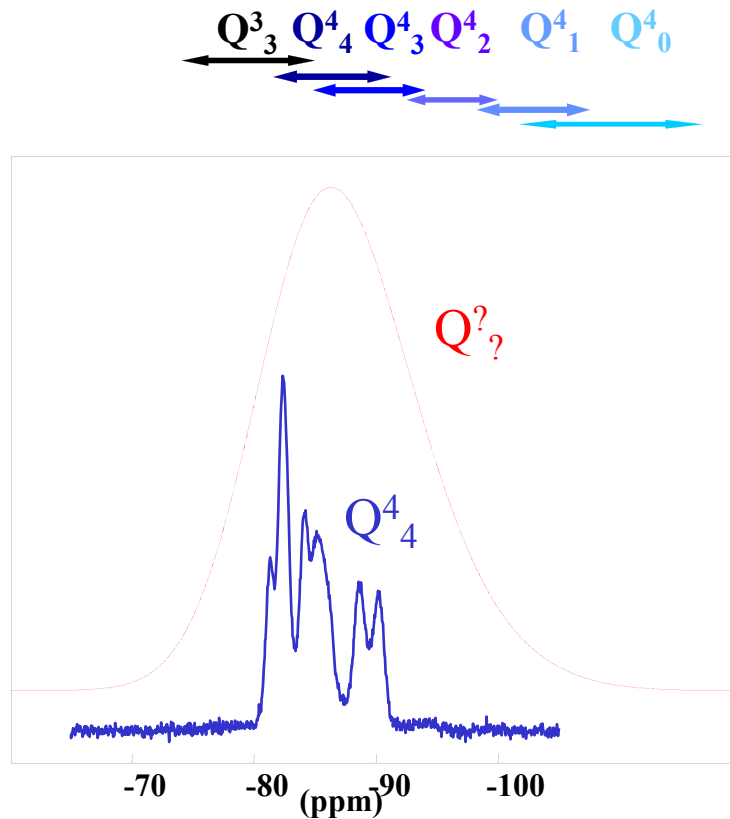
- Identification of neighbors
- Counting neighbors
- Chemical bond / Distance
- From Å to nm

- ✓ Glass
- ✓ Ceramics
- ✓ Molecular Sieves
- ✓ Meso-porous
- ✓ Catalysts Zeolites
- ✓ Biomaterials
- ✓ ...

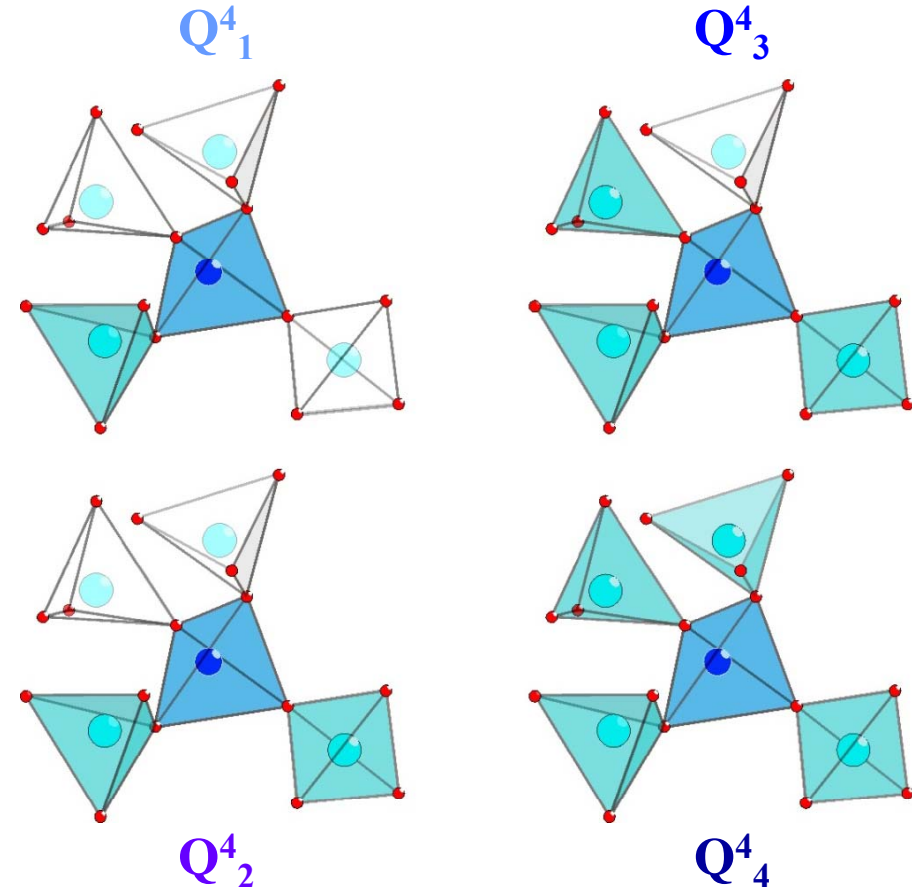
Relayed Transfer

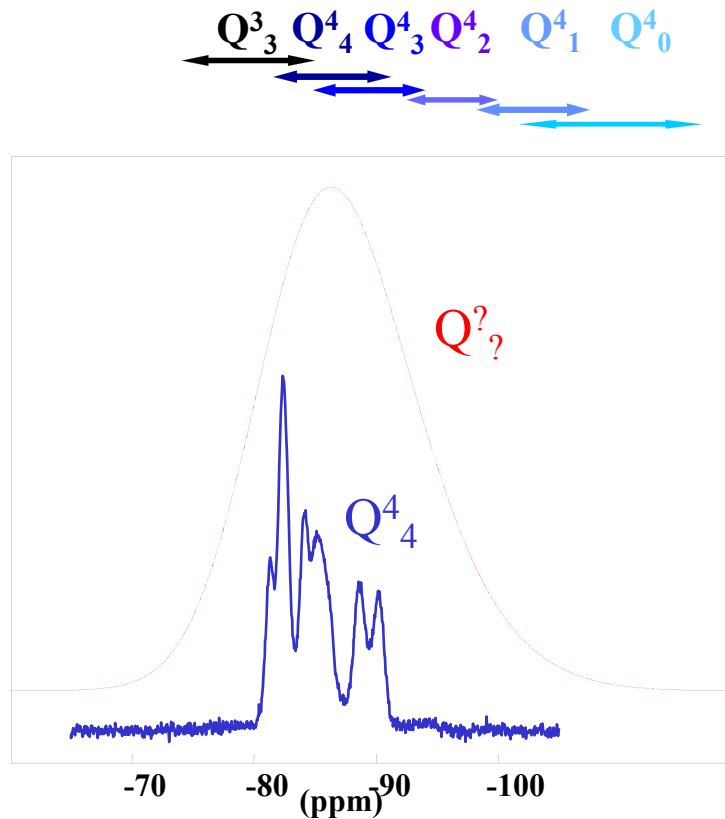


{⁷¹Ga/³¹P} {²⁷Al/³¹P} {²⁷Al/²⁹Si} {²⁷Al/¹⁷O} {²⁹Si/³¹P} {¹⁹F/²⁰⁷Pb} {¹⁷O/³¹P} ...

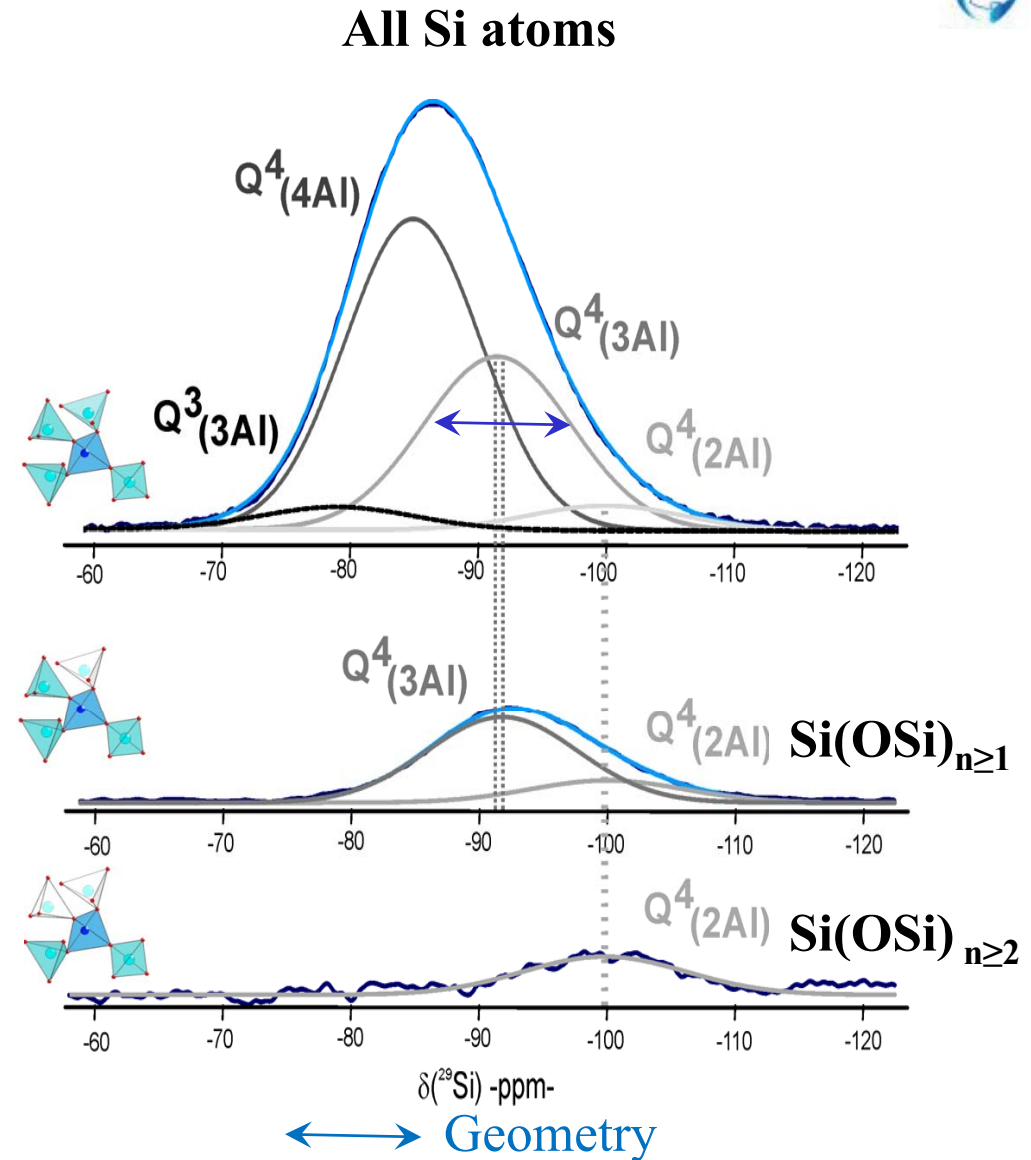


NMR²⁹Si
Anorthite
Crystalline & Glass



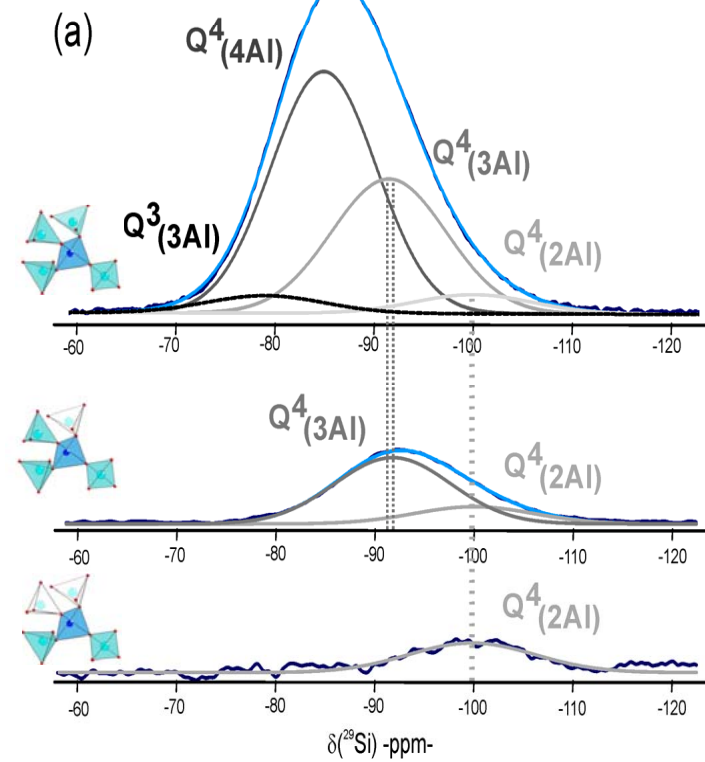
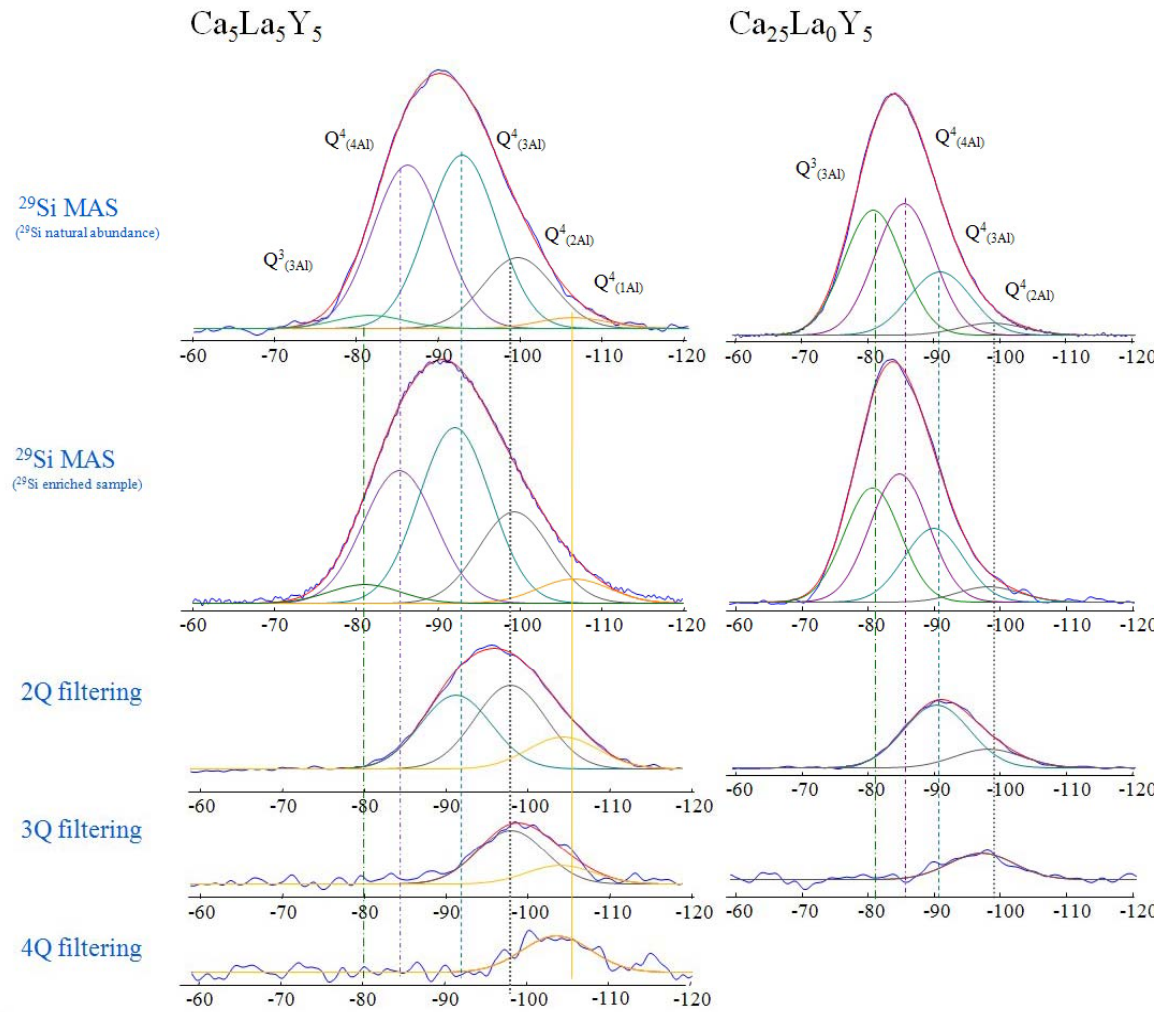


NMR²⁹Si
Anorthite
Crystalline & Glass

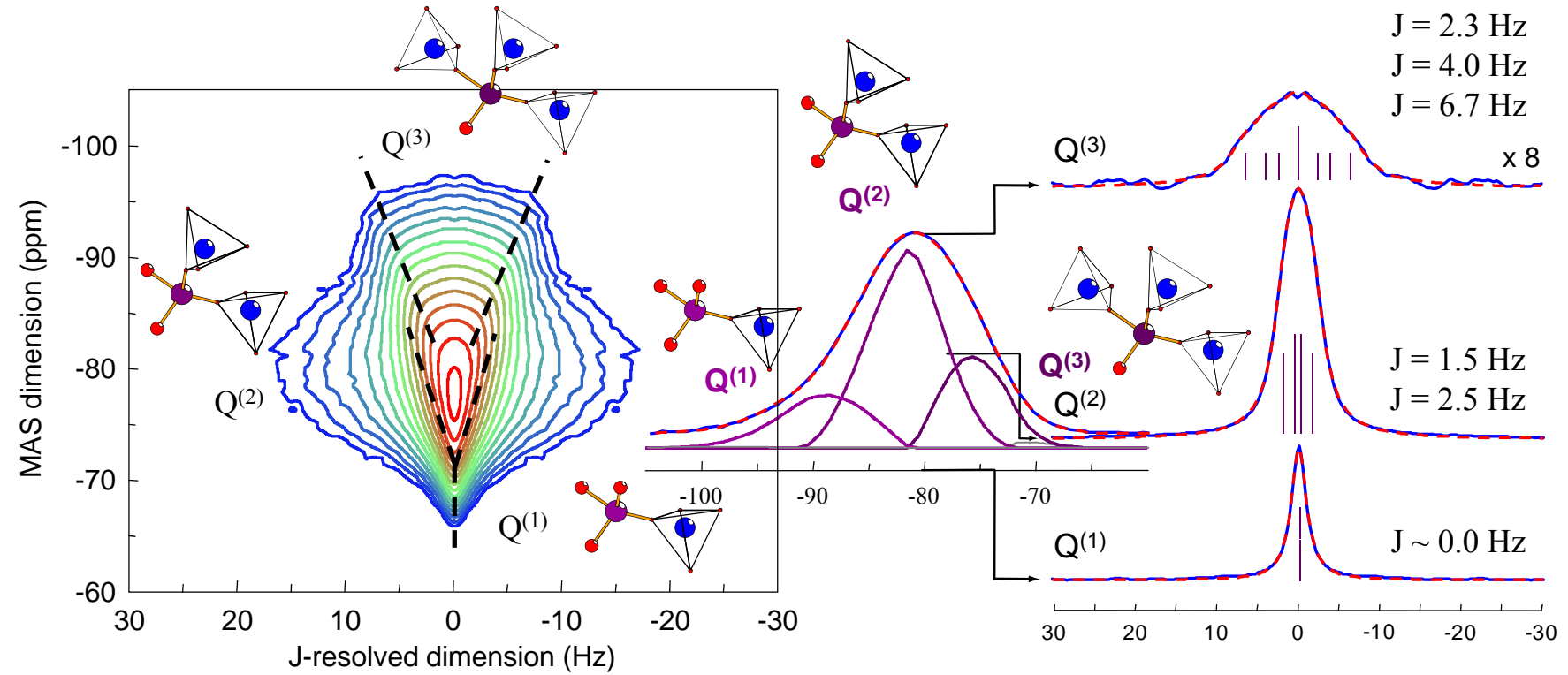


J.Hiet, M.Deschamps, N.Pellerin, F.Fayon, D.Massiot

"Probing chemical disorder in glasses using silicon-29 NMR spectral editing" Phys. Chem. Chem. Phys. 11 6935–6940 2009

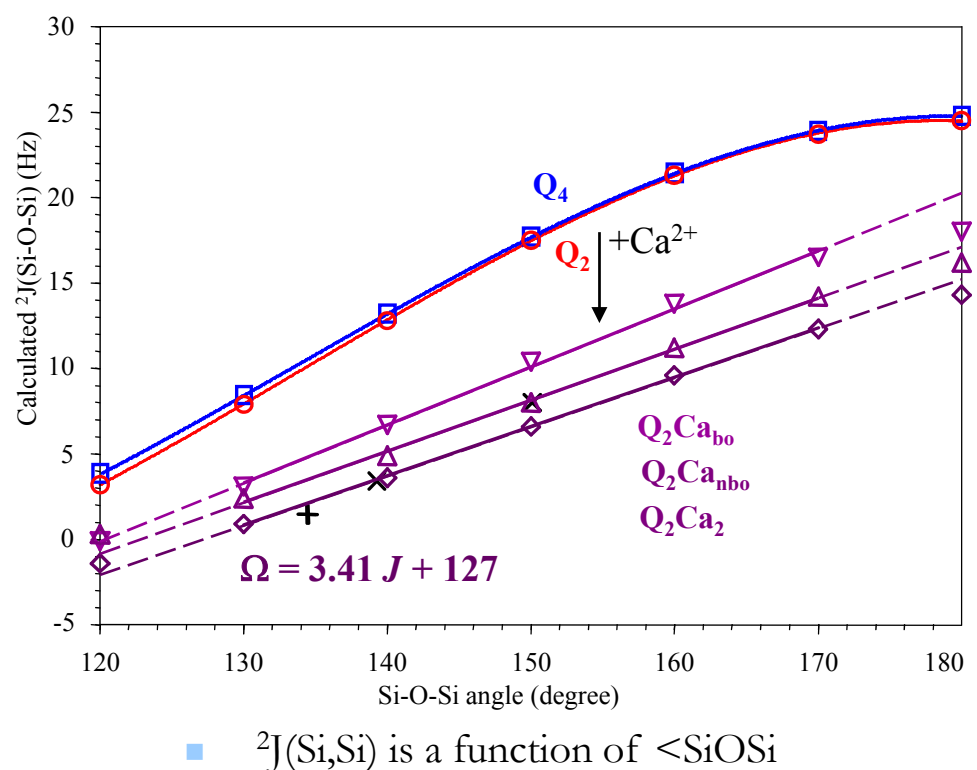
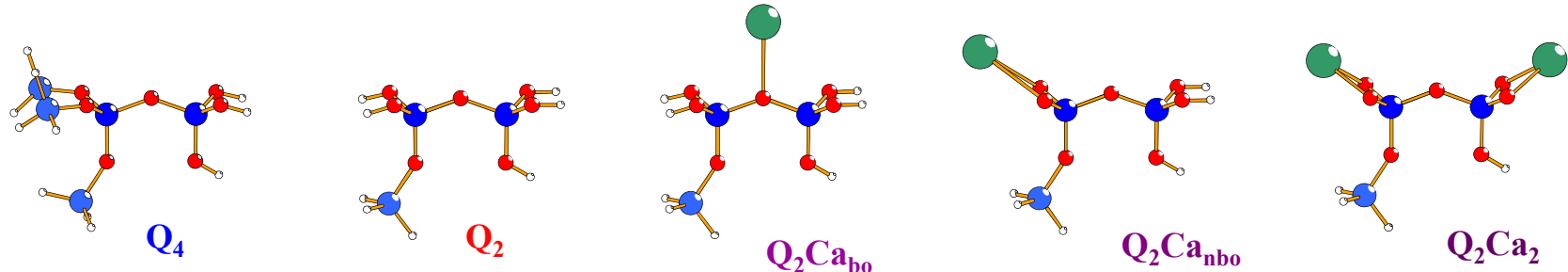


Anorthite Glass
 $\text{Si}_2\text{Al}_2\text{O}_8\text{Ca}$

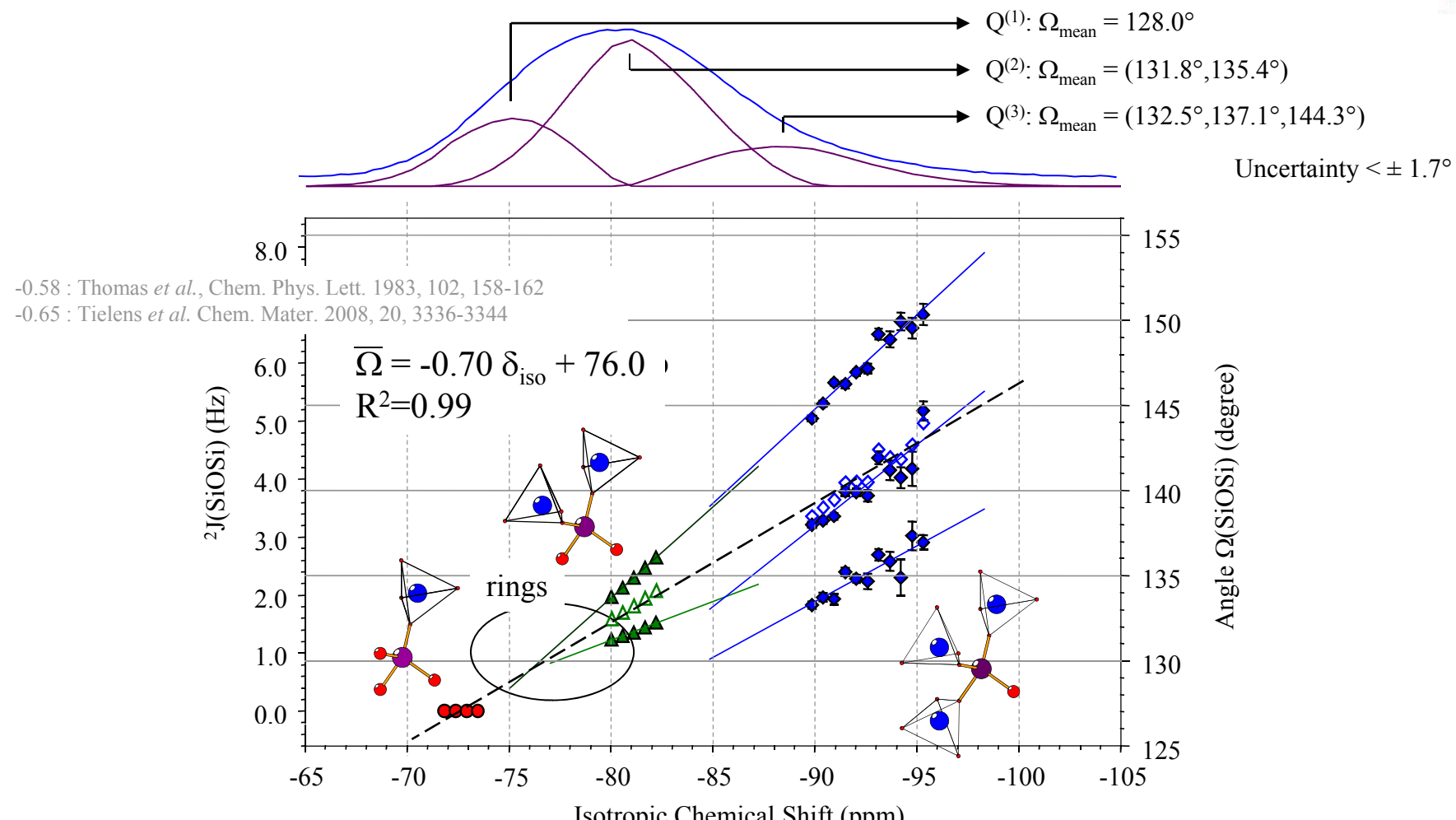


- Discontinuities not resolved but $^2\text{J}(\text{Si},\text{Si})$ measurable

Experimental decomposition of glass spectra with MAF:
 Zhang *et al.*, *J. Phys. Chem. B* 1997, 101, 4004-4008



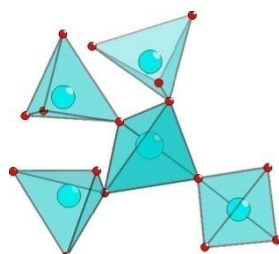
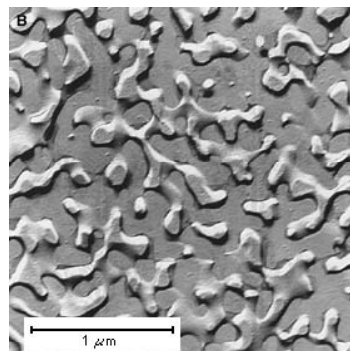
Evolution of $^2J_{\text{SiOSi}}$ as a function of δ_{iso}



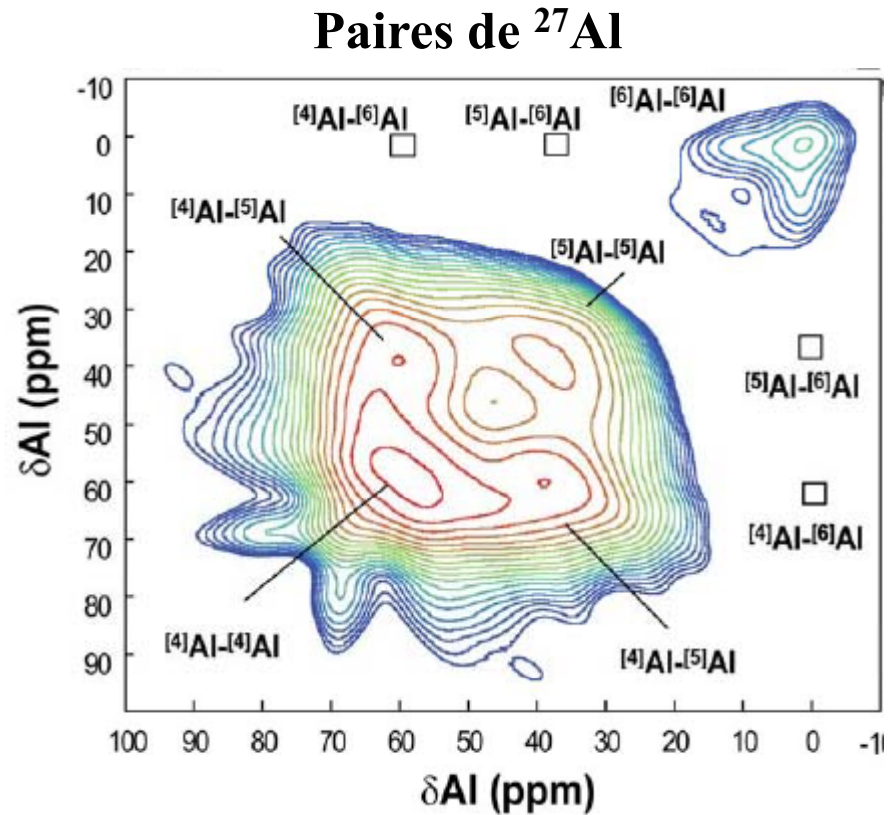
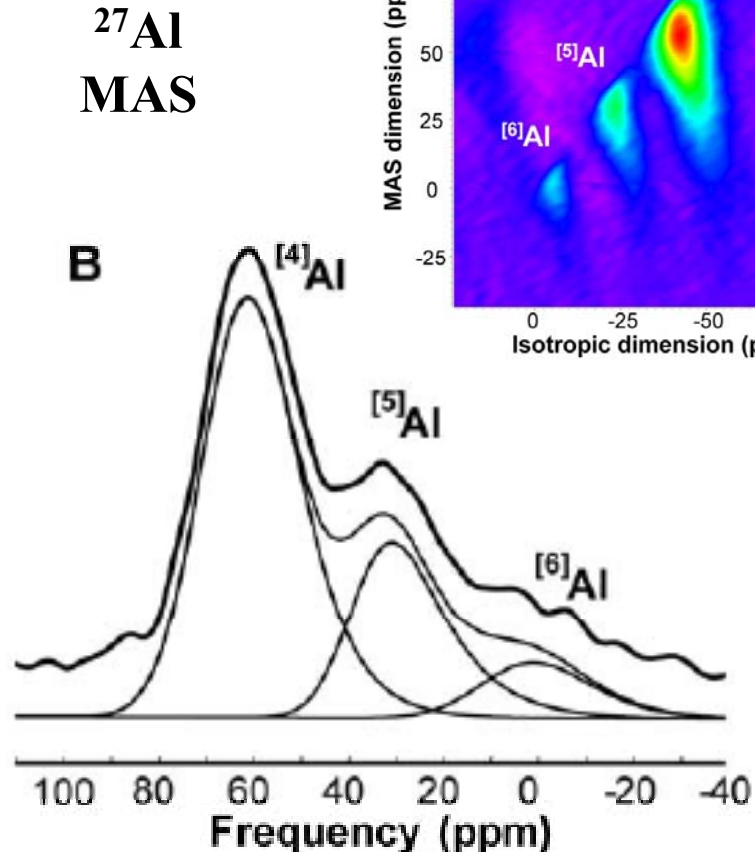
P.Florian, F.Fayon, D.Massiot

" 2J Si-O-Si scalar spin-spin coupling in the solid-state: the case of crystalline and glassy wollastonite CaSiO_3 " *J. Phys. Chem. C* 113 2562-2572 2009

Structure vitreuse à l'échelle subnanométrique : désordre géométrique ou chimique.



- Changements de coordinence
 - ✓ RMN 1D : ^{29}Si , ^{11}B , ^{27}Al , ^{17}O
- Désordre Chimique / Géométrique
 - ✓ Phosphates
 - ✓ Chalcogénures PSe
- Vers l'échelle sub-nanométrique
 - ✓ Anorthite $2\text{SiO}_2\text{-Al}_2\text{O}_3\text{-CaO}$
 - ✓ Silicate de Ca $\text{Ca}^{29}\text{SiO}_3$
- Perspectives

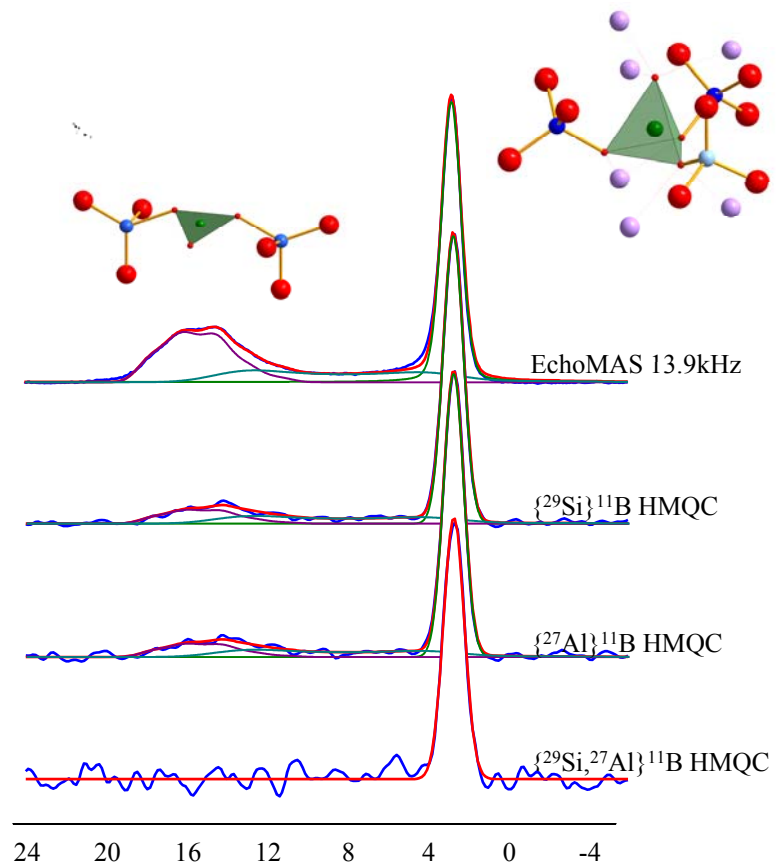
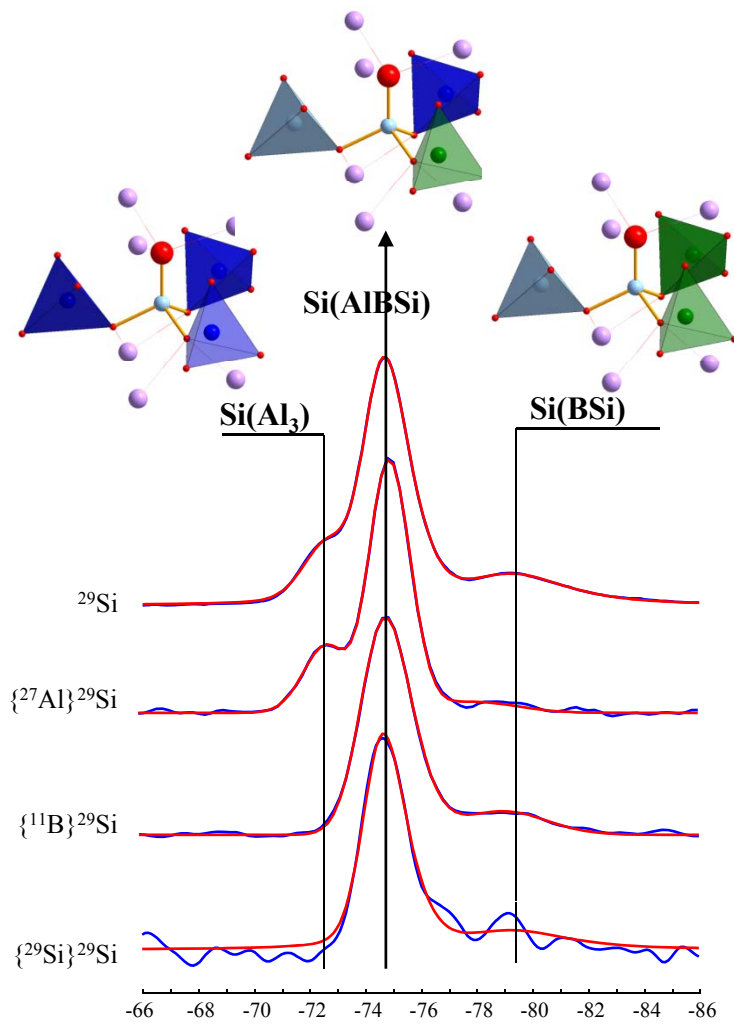


750MHz

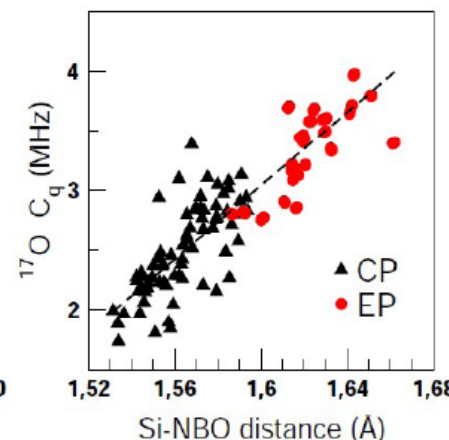
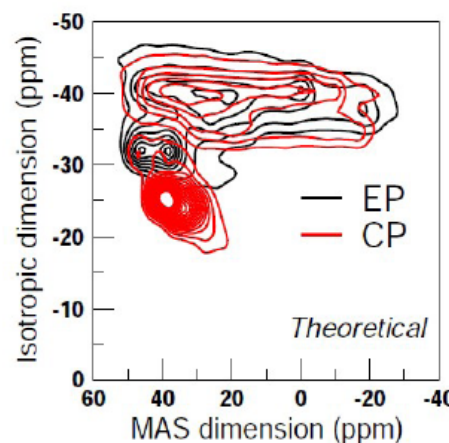
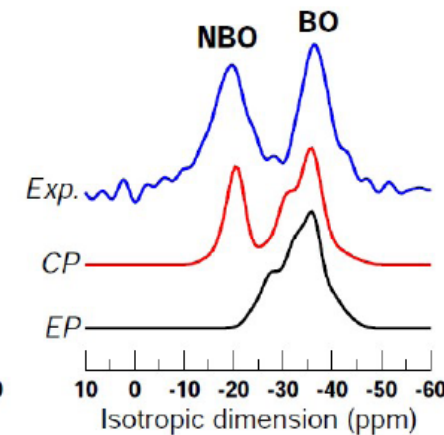
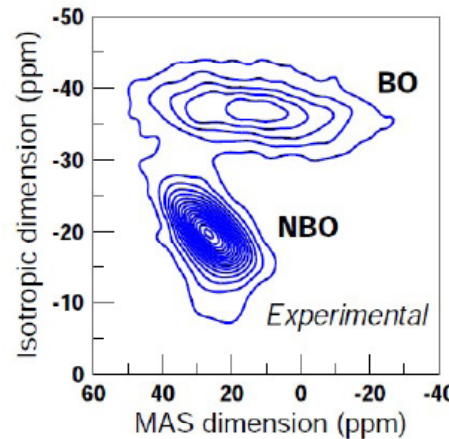
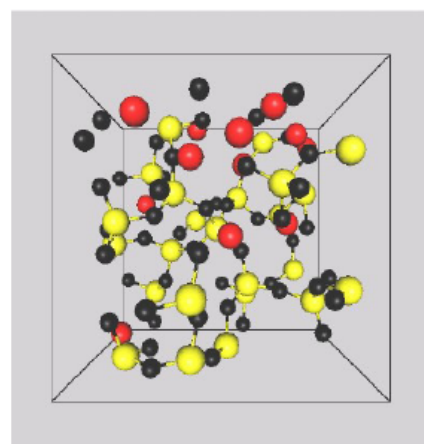
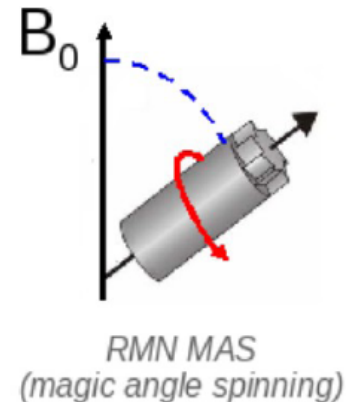
Verre d'aluminoborate de magnésium
 $2 \text{MgO} / \text{Al}_2\text{O}_3 / 2 \text{B}_2\text{O}_3$

S.K.Lee, M.Deschamps, J.Hiet, D.Massiot, S.Y.Park

"Connectivity and proximity between quadrupolar nuclides in oxide glasses: Insights from through-bond and through-space correlations in solid-state NMR"
J. Phys. Chem. B 113 5162-5167 2009

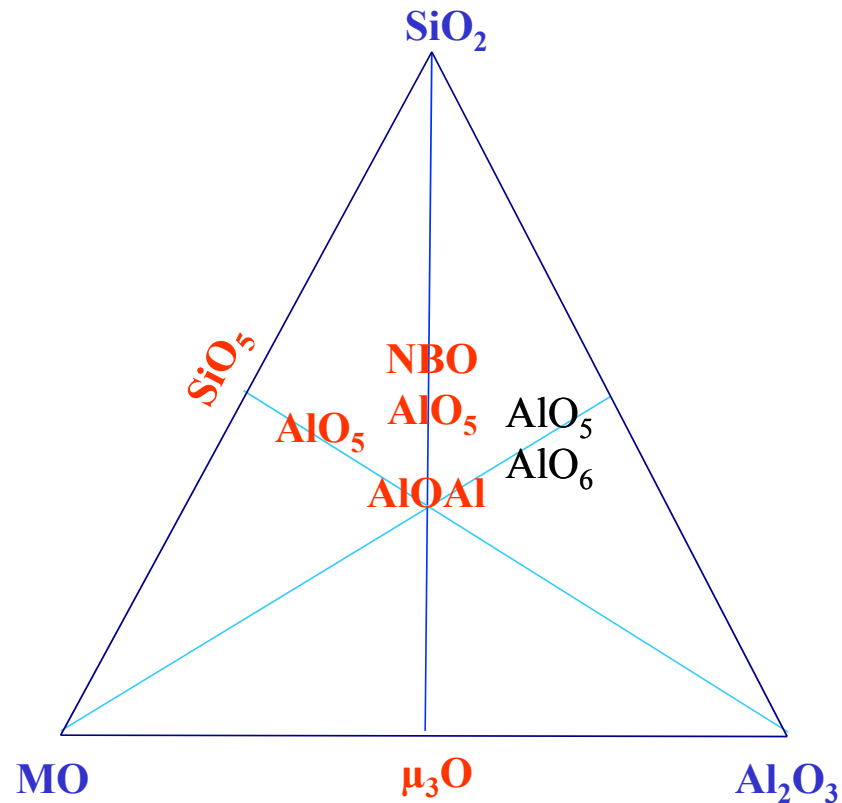


A New Methodology : The First Principles NMR Approach or In Silico NMR



T.Charpentier, P.Kroll, F.Mauri *First-Principles Nuclear Magnetic Resonance Structural Analysis of Vitreous Silica* *J. Phys. Chem. C* **113** 7917-7929 (2009)

G.Ferlat, T.Charpentier, A.P.Seitsonen, A.Takada, M.Lazzeri, L.Cormier, G.Calas, F.Mauri "Boroxol Rings in Liquid and Vitreous B_2O_3 from First Principles" *PRL* 101 065504 2008

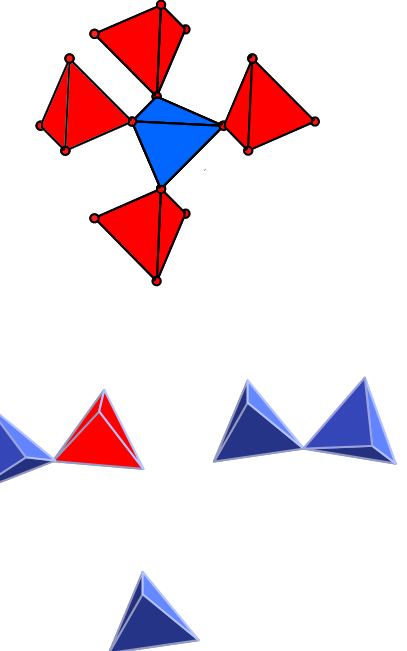


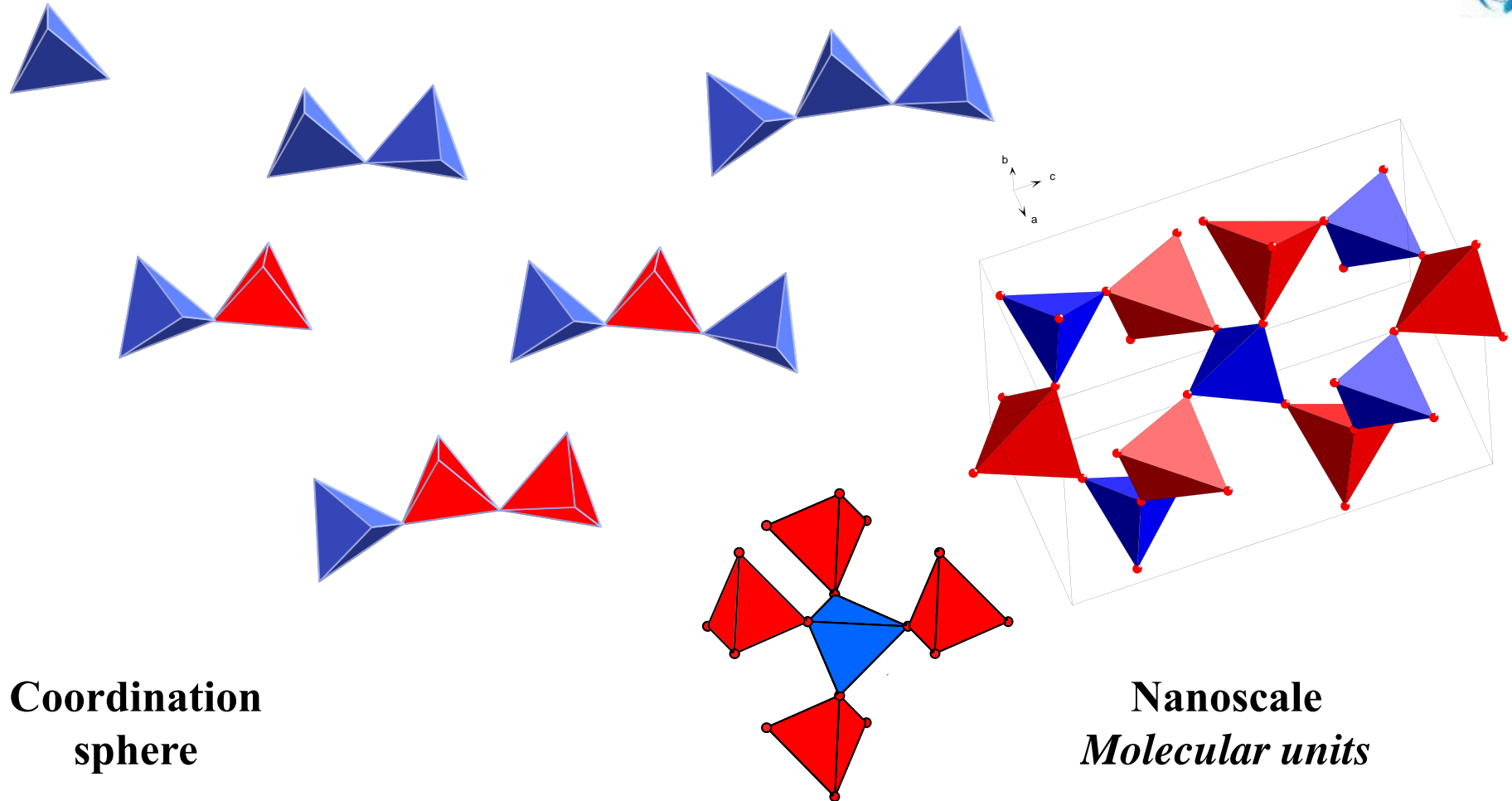
Molecular Motifs

- $^{27}\text{Al}(-\text{O-Si}_?)$
- $^{29}\text{Si}(-\text{O-Si}_?)$
- $^{27}\text{Al}(-\text{O-Al}_?)$
- $^{27}\text{Al}(-\text{O-B}_?) (-\text{O-Si}_?)$

Coordination

- $^{27}\text{AlO}_4\text{AlO}_5\text{AlO}_6$
- $^{29}\text{Si Q}_n$
- $^{17}\text{O } \mu 2 \text{ Si-O-Si }$
- $\mu 3 \text{ Si-O-Al }$
- Al-O-Al
- NBO





**Coordination
sphere**

**Nanoscale
*Molecular units***

Increasing size of molecular units

TGIR-RMN
TRÈS GRANDES INFRASTRUCTURES DE RECHERCHE

Submit a proposal >
Log into the TGIR-RMN intranet >

Fédération TGE RMN Très Hauts Champs - FR3050 CNRS

connecté comme Dominique Massiot | Déconnexion

cnrs
FR3050 CNRS
CNRS
Ministère de la Recherche
CEA

Home

High Field NMR
 Appel à projets

Spectromètre RMN 1GHZ
Inauguration le 12 Octobre 2009 (communiqué de presse du CNRS) du premier spectromètre RMN haute résolution à 1GHz (BRUKER) au monde installé au CRMN à Lyon. Cet instrument d'exception sera bientôt ouvert aux utilisateurs du TGE RMN Très Hauts Champs.
contacts : Lyndon Emsley

Projet...
 Appel à projets
Déposer un projet
Description de la procédure...
Suivre un projet

Remerciements
"Financial support from the TGE RMN THC Fr3050 for conducting the research is gratefully acknowledged."

Publications récentes
1 2 3 4 5 6 7 8 9 10 ...

C.M.Morais, V.Montouillout, M.Deschamps, D.Iuga , F.Fayon, F.A.A.Paz, J.Rocha, C.Fernandez, D.Massiot
1D to 3D NMR study of microporous alumino-phosphate AlPO4-40
Magnetic Resonance in Chemistry **47** 942-947 (2009) [doi hal]

TGE : Orléans

<http://www.tgir-rmn.org/> ou google “tgir-rmn”
RMN Solide à Hauts Champs : Orléans et Lille

Remerciements

CRMHT – Orléans

*Julien Hiet
Frank Fayon
Claire Roiland
Pierre Florian
Valérie Montouillout
Claudia Morais
Dinu Iuga
Michael Deschamps
Emmanuel Véron
Jean Pierre Coutures
Catherine Bessada
Thomas Vosegaard
Bruno Alonso
Aydar Rakhmatulin
Anne Laure Rollet*

Bruker

*Stefan Steuernagel
Hans Forster
Detelf Muller
Frank Engelke*

Colombus OSU - OH
*P.J. Grandinetti***IRAMIS CEA**
Thibault Charpentier

Université de Lille
*Jean Paul Amoureux
Julien Trebosc*

LCMC Paris
*Clément Sanchez
Florence Babonneau
Christian Bonhomme
Christel Gervais
Thierry Azaïs
Laurence Rozes...*

IPG LMCP
*Daniel Neuville
Laurent Cormier*

Seoul Corée
Seung Kun Lee

NHMFL USA
*Zhehong Gan
Tim Cross*

ENS – Lyon
*Lyndon Emsley
Anne Lesage*

Southampton – UK
Malcom Levitt

Warwick – UK
Steven Brown

Durham – UK
*Ian J. King
Robin K. Harris
John S.O. Evans*

Accès RMN à Haut Champ (750 MHz)
<http://www.tgir-rmn.org/>

Dominique Massiot massiot@cnrs-orleans.fr
CEMHTI – CNRS UPR 3079, Orléans, France
<http://www.cemhti.cnrs-orleans.fr>